

## Verbessertes Drude - Lorentz Modell

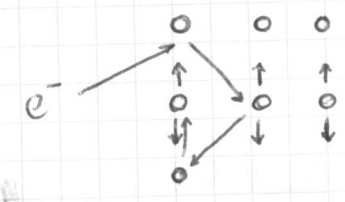
Annahmen: 1) Verhalten der Elektronen im Metall

$\hat{=}$  ideale Gasteilchen

2) Metall: Matrix aus Strenzenzentren

3)  $W = W_{\text{kin}}$ , d.h.  $W_{\text{pot}} = 0$  (keine Potentialschwelle)

4) Reibung durch WW der Elektronen mit  
Gitterschwingungen, Gitterfehlstellen



reglose thermische Bewegung

$\Rightarrow \text{Nettostrom} = 0$

$E\text{-Feld} \Rightarrow \text{Nettostrom}$

Bewegungsgleichung:

$$m \ddot{v}_D + \frac{m}{T} v_D = -eE$$

$$v_D(t) = v_{D\infty} \left[ 1 - \exp\left(-\frac{t}{\tau}\right) \right]$$

$$v_{D\infty} = -\frac{eE}{m} = -\mu_m E$$

$$J = -e n v_D = n e \mu_m E = \sigma E \quad \text{lokales ohmes Gesetz} \quad \text{scher}$$

$\rightarrow$  Drift - Transport

Widersprüche: 1) in HL  $\sigma \uparrow T \uparrow$

2) in dot. HL: Hall-Effekt zeigt positive  
Teilchen als Ladungsträger

3) Wärmeleitfähigkeit

Modellvorhersagen passen gut auf einige Metalle

$\Rightarrow$  tieferes physikalisches Verständnis notwendig

$\Rightarrow$  Quantenmechanik (Aufbau der Materie)  $\rightarrow$  Thermodynamik

## Kontinuitätsgleichung

aus TD ableitbar (Entropie)

- o Transport durch Diffusion

$$1. \text{ Fick'sches Gesetz: } J_x = -D \frac{\partial N}{\partial x}$$

Kontinuitätsgleichung  
Zeitabhängigkeit (2. Fick'sches Gesetz)

$$\frac{\partial N}{\partial t} = - \frac{\partial J_x}{\partial x}$$

2. Fick'sches Gesetz  
→ Kontinuitätsgleichung

$$\frac{\partial N}{\partial t} = D \frac{\partial^2 N}{\partial x^2} + \left( r_a - r_s \right)$$

↑ Quelle      ↑ Senke

(vgl. Kap. 1 A1, A2 ⇒ Bilder beachten

⇒ Verständnisfragen !)



Chemisches Gleichgewicht, Massenwirkungsgesetz

Thermodynamik treibende Kraft für chemische Prozesse

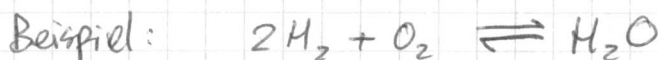
$$F_{\text{ges}} = - \frac{\partial A}{\partial (\text{Prozesskoordinate})} \quad \text{mit } A = W - TS$$

↑ freie Energie

$$\text{für chem. GG. } F_{\text{ges}} = \frac{\partial \Delta \bar{A}}{\partial S} = 0$$

$$\rightarrow \text{MWG} \underbrace{\exp\left(-\frac{\Delta \bar{A}^\circ}{k_B T}\right)}_{K_c(T)} = \prod_i x_i^{v_i}$$

↑ Molenbruch



$$K(T) = \frac{x_{\text{H}_2\text{O}}^2}{x_{\text{H}_2}^2 x_{\text{O}_2}}$$

$$n \cdot p = n_i^2$$

# Quantenmechanik I

Beschreibung von  $e^-$  als Teilchen bzw. Welle

$$\text{Wellenpaket } \Delta x \Delta p \geq \hbar$$

Wellenfunktion  $\Psi(\omega, x)$  beschreibt Aufenthaltswahrscheinlichkeit

$$|\Psi \cdot \Psi^*| \hat{=} \text{Dichte}$$

$$\int \Psi \Psi^* d\omega = 1$$

allg. Schrödinger-Gleichung

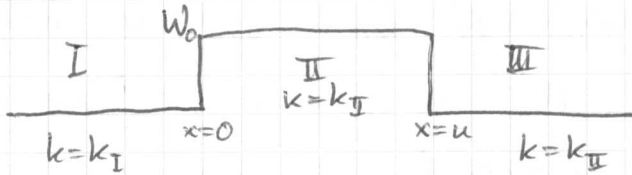
$$-\frac{\hbar^2}{2m} \nabla^2 \Psi + W_{\text{pot}} \Psi = i\hbar \frac{\partial \Psi}{\partial t}$$

durch Separation  $\Psi = \Psi(x) \cdot \Psi(t)$

$$-\frac{\hbar^2}{2m} \nabla^2 \Psi + W_{\text{pot}} \Psi = W \Psi$$

freie Elektronen  $\rightarrow$  Transport, gebundenes  $e^- \Rightarrow$  Materie

Elektronen an Tunnelbarriere (vgl. Kap. 2 A4 bzw. A3)



(Ansatz Schrödinger Gleichung in jedem Bereich)

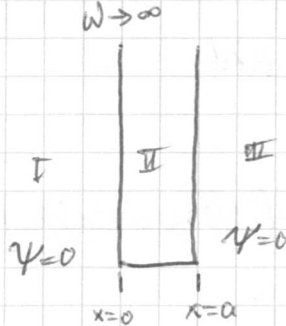
$$\text{R.B. } \Psi_I(x=0) = \Psi_{II}(x=0)$$

$$\frac{\partial \Psi_I}{\partial x}(x=0) = \frac{\partial \Psi_{II}}{\partial x}(x=0)$$

für Energie  $W < W_0$  Welle nicht ausbreitungsfähig

$$\text{Transmissionskoeffizient: } T = \left[ 1 + \frac{\sinh^2(k\pi u)}{4\frac{W}{W_0}(1 - \frac{W}{W_0})} \right]^{-1}$$

# Elektron im 1D-Potenzialtopf



geg. Potenzialtopf mit unendl. hohen Wänden  
für  $e^-$  (vgl. Kap. 2 A1)

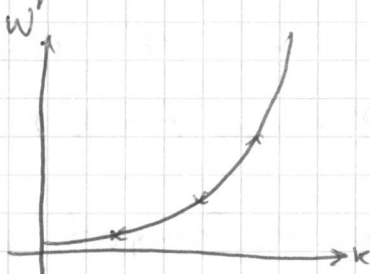
$$\text{Lsg: } \psi(x) = A \sin(kx)$$

$$\text{mit } k_n = \frac{n\pi}{a} \quad \text{aus R.B. } \psi(x=a) = 0$$

$$n=1, 2, 3, \dots$$

Ergebnis: Energie ist quantisiert

$$W(k) = \frac{\hbar^2}{2m} k_n^2$$

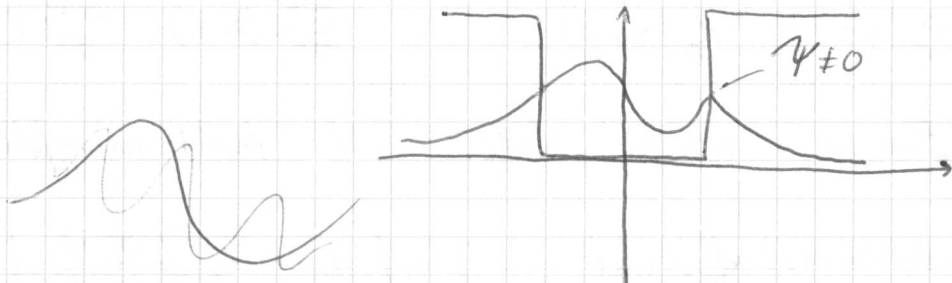


aqu. 3D

$k_x, k_y, k_z$

## Freitextaufgabe

Gegeben sei ein Potenzialtopf mit endlich hohen Wänden der Energie  $W_0$ . In diesem sei ein Elektron der Energie  $W < W_0$  eingesperrt. Zeichnen Sie die Wellenfunktion  $\psi(x)$  für  $n=2$

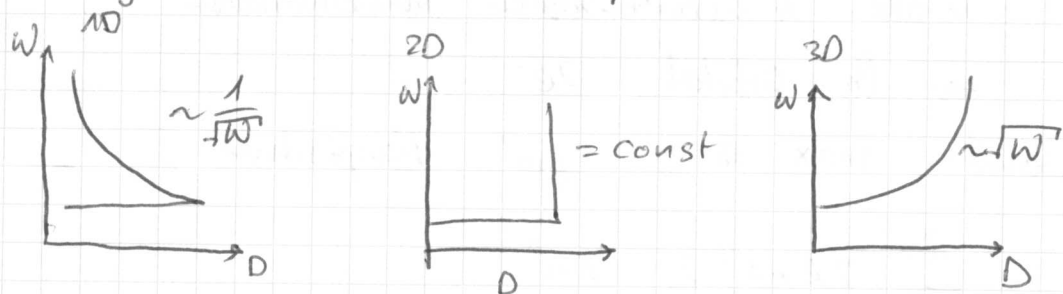


## Zustandsdichte $D(\omega)$

Def.: Konzentration  $n$  der Zustände in einem Energiebereich  $d\omega$  (# mögliche Plätze)

$$D(\omega) = \frac{\partial n}{\partial \omega}$$

Herleitung aus 1D-Potentialtopf (bzw. 2D, 3D)



(vgl. Kap. 4 A3)

Bei ganz vielen  $e^-$  quasikontinuierlich

## Wasserstoffmodell I



Coulomb-Potential

Ein Elektronennäherung

Lösung der Schrödingergleichung  
in sphärischen Koordinaten

$\Rightarrow$  drei Quantenzahlen (äquiv. zu  $k_r = \frac{n_i \pi}{a}$ )

1) Haupt-Quantenzahl  $n = 1, 2, 3, \dots \Rightarrow W_n$

Schalen

2) Bahn-Drehimpulszahl  $\ell = 0, 1, 2, 3, \dots (n-1)$

$\hookrightarrow$  Winkelabhängigkeit

3) magn. Quantenzahl  $m_\ell = 0, \pm 1, \pm 2, \dots, \pm \ell$

$\Rightarrow$  Atomorbitale  $(n, \ell, m_\ell) \Rightarrow$  PSE

(Periodensystem der Elemente)

## Wasserstoff II

zusätzlich Spin der Elektronen

(4)  $\exists m_s \quad m_s = \pm \frac{1}{2}$  magn. Spin-Quantenzahl

Pauli-Prinzip: Elektronen im Atom dürfen nicht in allen 4 Quantenzahlen übereinstimmen

→ Pro Orbital  $2e^-$

Insgesamt: max # e<sup>-</sup> pro Hauptschale

$$\sum_{l=0}^{n-1} (2l+1) \cdot 2 = 2n^2$$

Beispiel:  $n=2 \quad 8e^- \quad l=0,1 \quad s \ 2 \text{ EP}, \ p \ 6 \text{ EP}$

chem. Verhalten wird durch Elektronenkonfiguration bestimmt → DSE

## PSE I

Edelgaskonfiguration besonders günstig  
(chem. praktisch nicht aktiv)

Octettregel: Atome versuchen volle äußere Schale zu erreichen

## Chemische Bindungen

Ursache: WW der äußeren Orbitale von Atomen

z.B. Ionisierung, Überlappung von Elektronenwolken, Dipol-Dipol WW

Typen: Grenzfälle

!

- ionische Bindung: Ionisierung

- kovalente Bindung: Überlappung von Orbitalen (gerichtet)

- metallische " " Elektronen delokalisiert

- van-der-Waals " " Dipol-Dipo " " → Ursache elekt. Anz. und Abst.

## Freitextaufgabe

Wie heißt der abgebildete Fehler und wie ist der Burgersvektor definiert?

3-18

## Schraubenversetzung

### Kristallgitter

Anordnung der Atome in einem Kristallgitter

→ bestimmt durch chem. Bindung und WW

Defekte:

- 0D: Punktdefekte
  - Leerstelle<sup>lin</sup>, Substitutionsdefekte, Zwischengitterionen (Frenkel-Fehler), Schottky-Fehlordnung

- 1D: Schraubenversetzung, Stufenversetzung

- 2D: Korngrenzen

- 3D: Fremde Phasen

⇒ Fehler haben entscheidenden Einfluss auf die Materialeigenschaften

### Bändermodell

Anschaulich: Annäherung isolierter Atome

→ Pauli → Aufspaltung der Energie

→ viele Elektronen → quasikontinuierliche Bänder

aus QM berechenbar Kronig - Penney - Modell

(vgl. Kap. 4 A2)

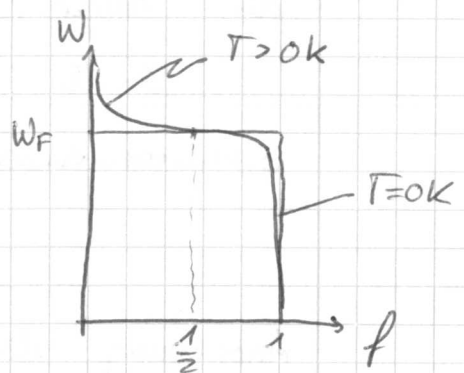
## Besetzungs Wahrscheinlichkeit

Wie werden die Zustände besetzt

→ Fermi-Dirac - Statistik

$$f_{FD}(W, T) = \frac{1}{1 + \exp(\frac{W - W_F}{k_B T})}$$

$W_F$  definiert als  $f(W_F) = \frac{1}{2}$

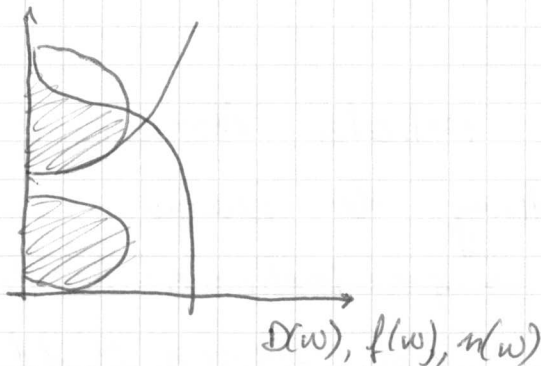


Vereinfachung: # Anordnungsmöglichkeiten >> # Elektronen (Teilchen)  
gibt die Boltzmannstatistik

$$W \geq W_F + 3k_B T \quad f_{FD} \approx f_B(W, T) = \exp\left(-\frac{W - W_F}{k_B T}\right)$$

### Freitextaufgabe

Zeichnen Sie die Zustandsdichte  $D(W)$  der obersten beiden Bänder eines Metalls und die Verteilungsfunktion in die Abbildung ein. Markieren Sie anschließend die Besetzung der Bänder



## Freitextaufgabe

Welche Abhängigkeit besteht zwischen der Diffusionskonstanten  $D$  und der Temperatur  $T$  (kurze Begründung)

$$D = D_0 \exp\left(-\frac{\Delta W_D}{k_B T}\right)$$

$\omega_0$    
Transportiert über Barriere  $\Delta W_D$   
 $\Rightarrow$  Boltzmann-Statistik

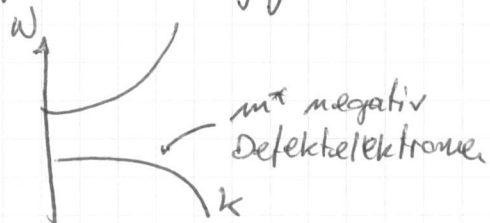
Metalle, Halbleiter, Isolatoren

$$n = \int D(\omega) \cdot f(\omega) d\omega$$

zur Leitung tragen nur  $e^-$  in z.T. gefüllten  
Bandern bei

$\sigma(T)$  im HL ist also stark temperaturabhängig

$$\text{eff. Masse } m^* = \frac{1}{\hbar^2} \frac{\partial^2 W}{\partial k^2}$$



$$\text{Metall: } J = -nev_b = ne\mu_n E = \sigma E$$

$$\mu_n = \frac{eT}{m_e^*} \quad \sigma \sim \frac{1}{T}$$

$$\text{HL: } \sigma = ne\mu_n + p\mu_p \quad \text{Defektelektronen}$$

Diffusion als Transportmechanismus in HL

# Repetitorium Halbleiter

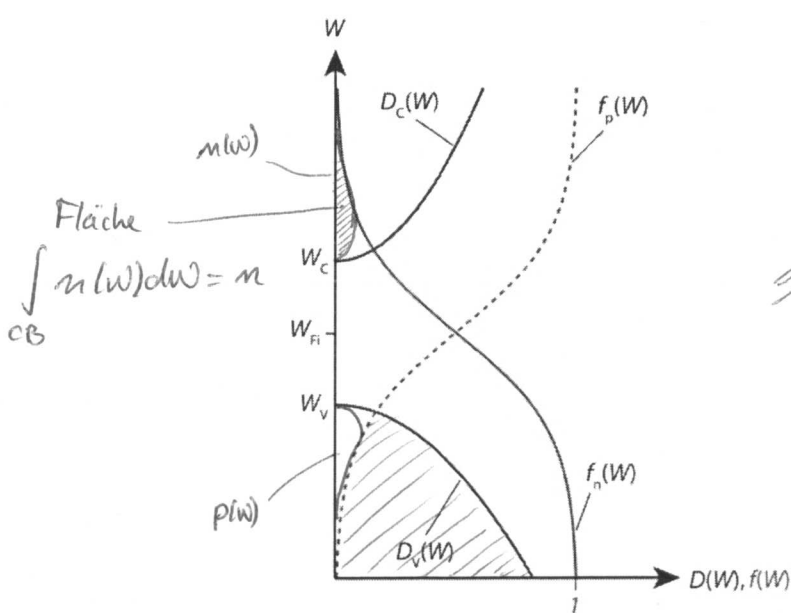
## Inhalte

- |   |   |  |
|---|---|--|
| Undotierte Halbleiter                     | } | effektive Besetzung der Zustände, Ferminiveau, |
| Dotierte Halbleiter                       |   | Ladungsträgerdichten, Leitfähigkeit            |
| Ladungsträgerbeweglichkeit und Halleffekt |   |  |
| Nichtgleichgewichte                       |   |  |

## Sonstiges

- Beispielaufgaben zum Fragenteil
- Klausuraufgabe aus dem L<sup>2</sup>P
- Fragen aus der Umfrage im L<sup>2</sup>P
- Fragen aus dem Auditorium (Vorlesung, Skript, Aufgaben, Klausur)

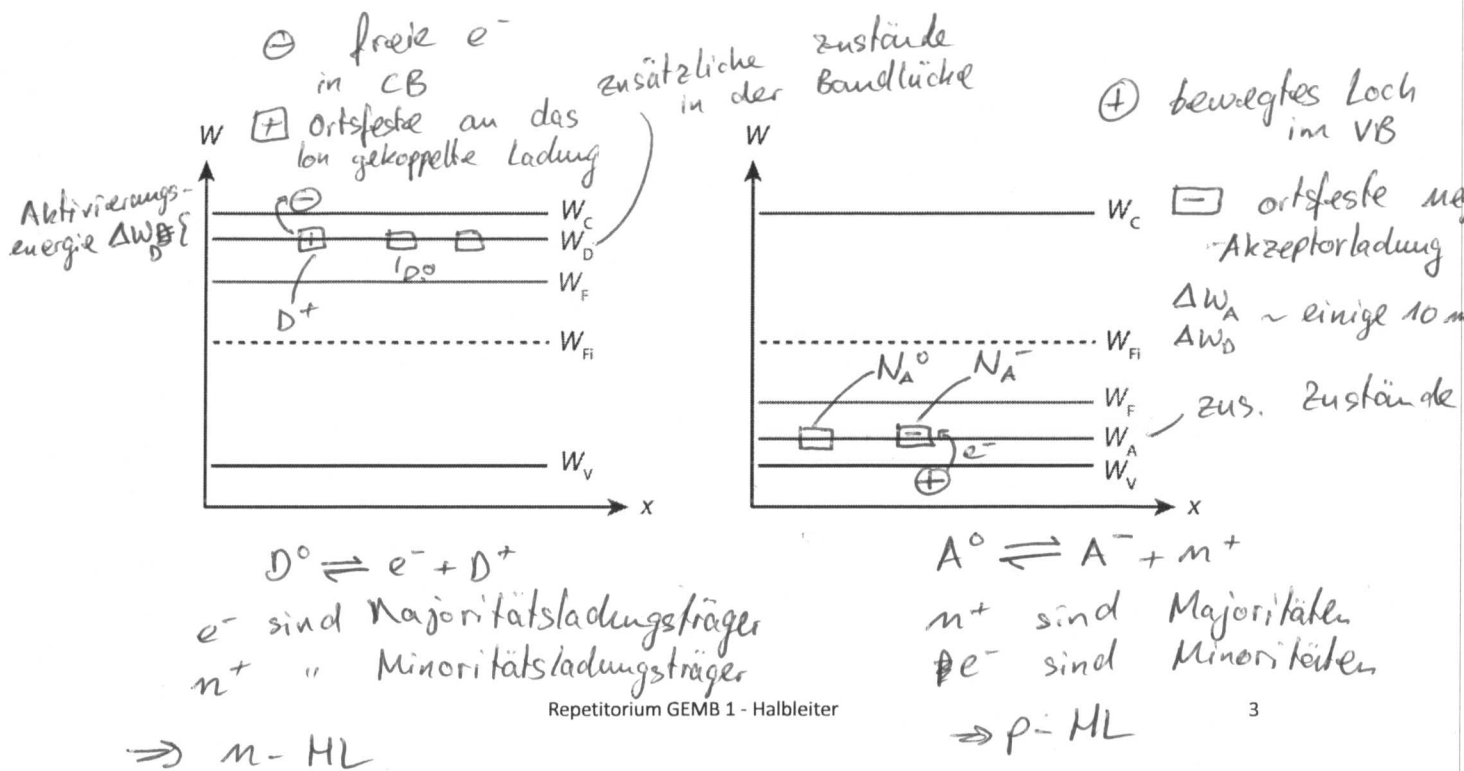
## Effektive Besetzung der Zustände im Eigenhalbleiter



$$n(w) = D_e(w) \cdot f_n(w)$$
$$p(w) = D_h(w) \cdot f_p(w)$$

$\Rightarrow$ : mit  $e^-$  besetzten Zuständen

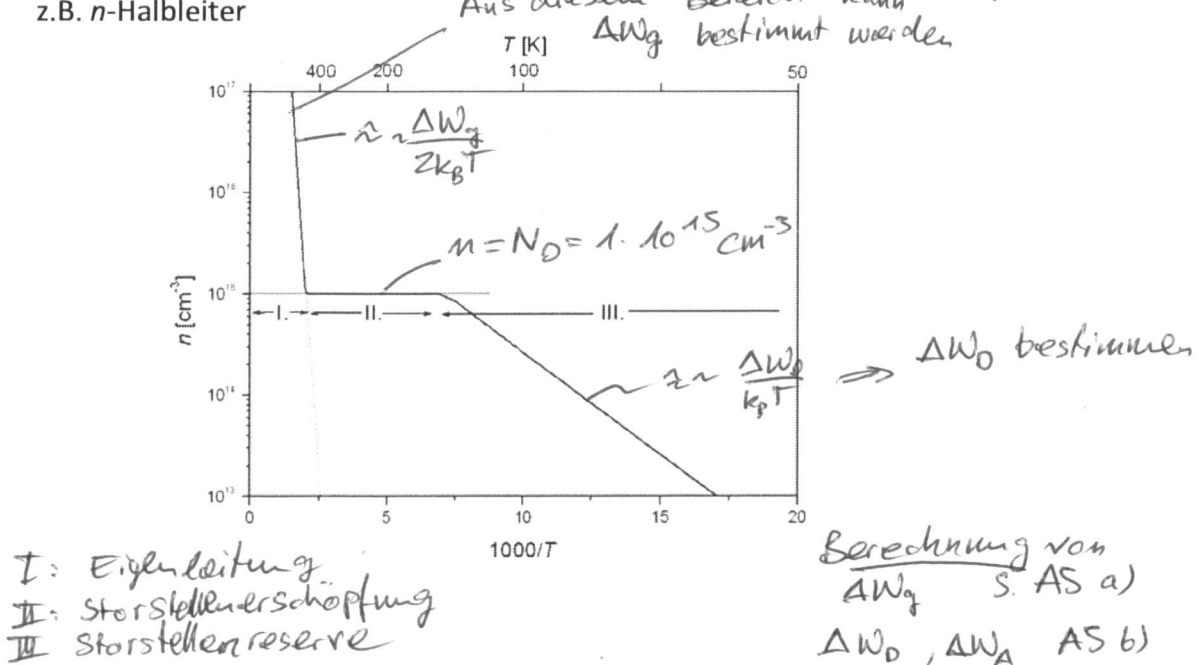
## Energetische Lage der Donator- und Akzeptorniveaus



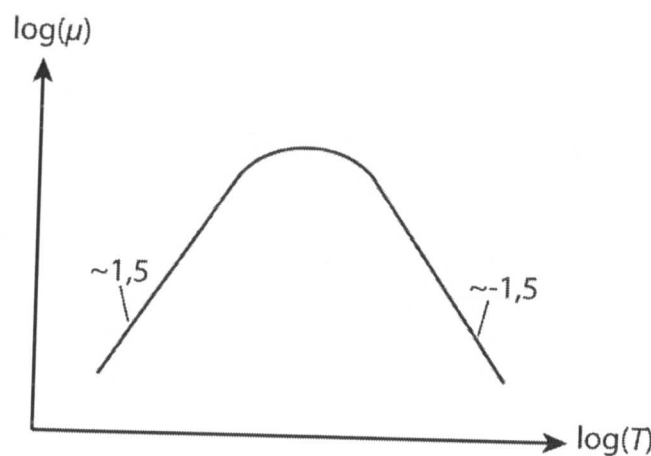
## Temperaturabhängigkeit der Majoritätsladungsträgerdichte

$\Rightarrow$  vgl. auch A2 Kap. 4  
 Übung

z.B. n-Halbleiter



## Temperaturabhängigkeit der Beweglichkeit

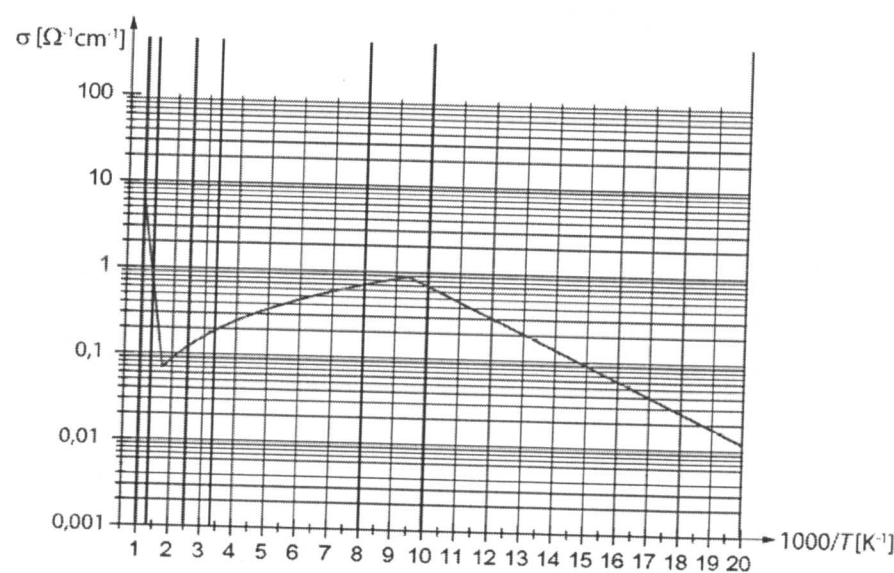


2. 3. – 3. 3. 2010

Repetitorium GEMB 1 - Halbleiter

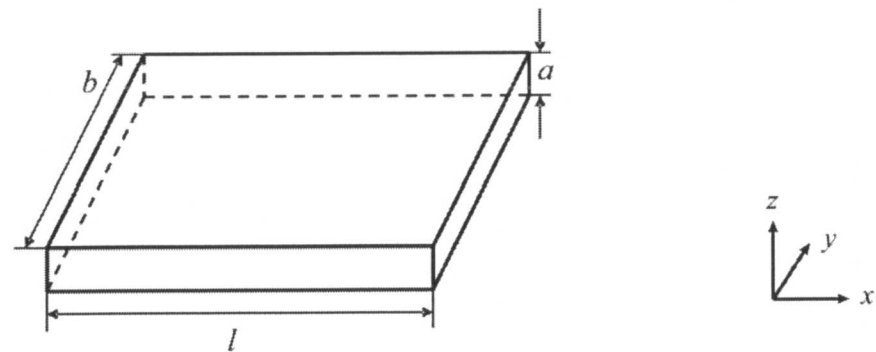
5

## Temperaturabhängigkeit der Leitfähigkeit



Quelle: Aufgabensammlung, Kapitel 5, Lösung A2, S. 120

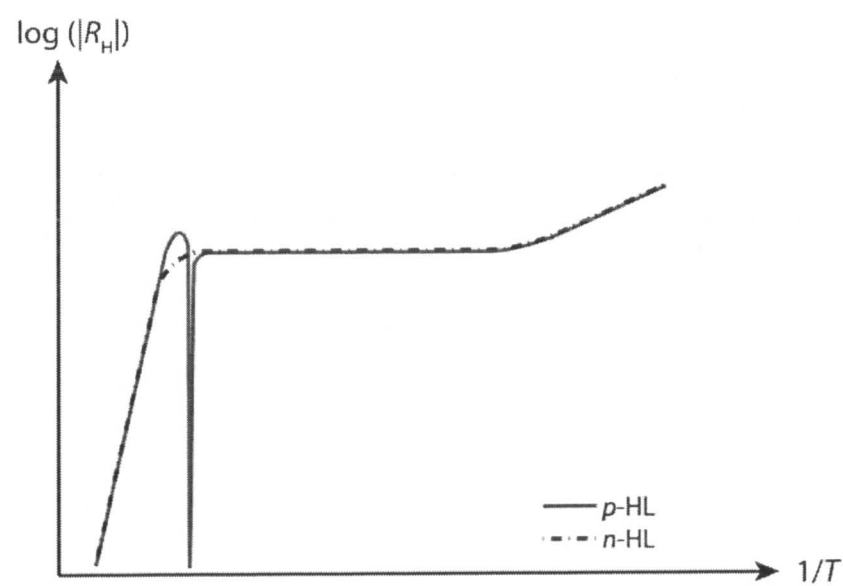
## Hallplättchen



Repetitorium GEMB 1 - Halbleiter

7

## Temperaturabhängigkeit des Hallkoeffizienten

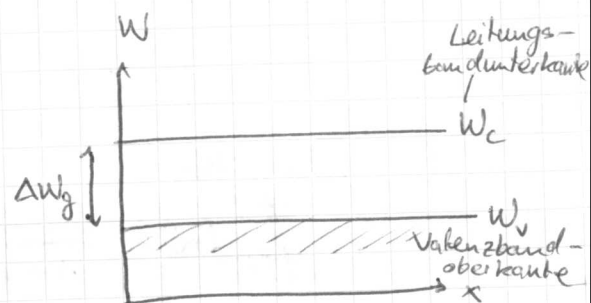
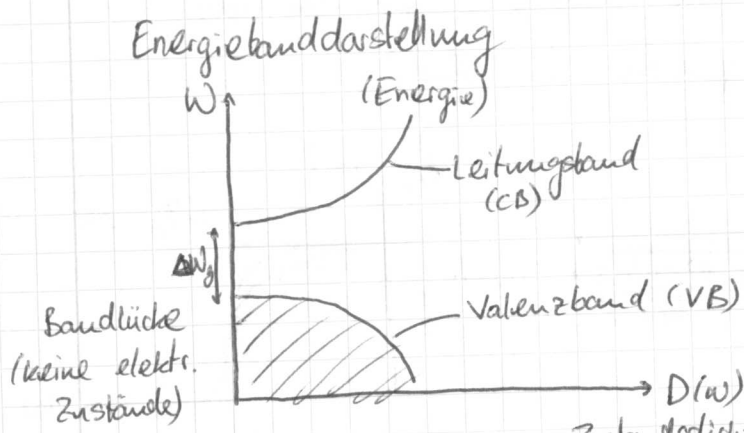
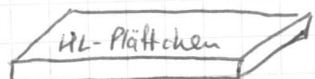


Repetitorium GEMB 1 - Halbleiter

8

# undotierte Halbleiter

auch intr. HL / Eigenhalbleiter



$$\Delta W_g \approx \text{wenige eV}$$

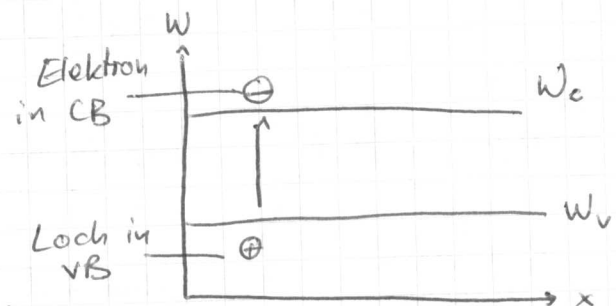
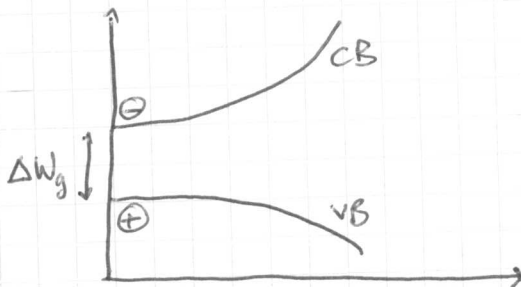
Zustandsdichte  
= # Anzahl Zustände pro Energiewert-  
vall

T=0K: Alle Zustände im VB sind  $e^-$  besetzt  
keine  $e^-$  im CB  
→ keine elektrische Leitung möglich

Thermische Generation von

Elektronen-Loch-Paaren

T>0K:



Im intrins. HL gibt es gleich viele Elektronen

und Löcher:  $n = p = n_i = f(T)$

↳ Eigeneitigkeitsdichte

$e^-$  im CB &  $n^+$  im VB können ihre Zustände ändern, d.h. sie sind beweglich

→ d. Leitung möglich

$$\text{el. Leitfähigkeit } \sigma = e(\mu_n + \mu_p)$$

Zum Vergleich:  $\sigma_{\text{Metall}} = e n M_n$

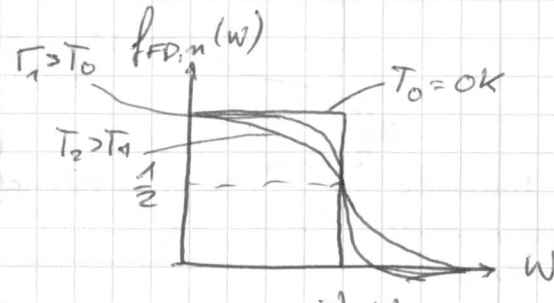
Beweglichkeiten

## Fermi-Dirac-Verteilung

(gibt an mit welcher Wahrscheinlichkeit ein Elektron / Loch eine Energie  $W$  zu geg. Temperatur  $T$  hat)

Für Elektronen:

$$f_{FD,n}(w) = \frac{1}{1 + \exp\left(\frac{w - w_F}{k_B T}\right)}$$



Für Löcher:

$$f_{FD,p}(w) = \frac{1}{1 + \exp\left(\frac{w_F - w}{k_B T}\right)}$$

$$f_{FD,p}(w) = 1 - f_{FD,n}(w)$$

$w_F$  = Energie bei der  $f_{FD,n}(w) = f_{FD,p}(w) = \frac{1}{2}$

## Die Boltzmann-Verteilung

Für  $|w - w_F| \gg 3k_B T$

$$f_{FD,n} \approx f_{B,n} = \frac{1}{\exp\left(\frac{w - w_F}{k_B T}\right)}$$

$$f_{FD,p} \approx f_{B,p} = \frac{1}{\exp\left(\frac{w_F - w}{k_B T}\right)}$$

Boltzmann-Näherung      Boltzmannverteilung

# Gleichgewicht zwischen Generation und Rekombination

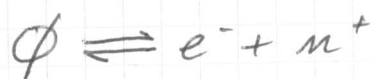
Rekombination der thermisch generierten Elektronen-Loch-Paare innerhalb von  $T_{\text{rec}}$

$\rightarrow$  Rekombinationszeit  
oder Ladungsträgerlebensdauer

ständige therm. Generation & Rekombination

$\rightarrow$  thermodyn. Gleichgewicht

Gleichgewichtsreaktion:



Massenwirkungsgesetz:  $n \cdot p = n_i^2 - K(T)$

$n_i$  = Eigenleitungsichte  $\hat{=}$  charakterist. Ladungsträgerdichte  
des reinen / intrins. HL in  
Abhängigkeit von T

Eigenleitungsichte

$$n = p = n_i$$

immer:  $n \cdot p = n_i^2$

$N_c \exp(\dots) \quad N_v \exp(\dots)$

$$\Rightarrow n_i = \sqrt{N_c N_v} \cdot \exp\left(-\frac{\Delta W_g}{2k_B T}\right) = f(T)$$

$$\sim T^{3/2} \cdot \exp\left(-\frac{\Delta W_g}{2k_B T}\right)$$

$n_i$  abh. von  $\Delta W_g$ , T

## Beispielrechnung

Wenn eine Größe bei einer Temperatur  $T_1$  bekannt ist und auch die Temperaturabhängigkeit der Größe bekannt ist, so kann die Größe bei beliebigen anderen Temperaturen berechnet werden.

Bsp: Si  $\Delta W_g = 1,1 \text{ eV}$

geg.  $n_i(T_1 = 500 \text{ K}) = 1 \cdot 10^{15} \text{ cm}^{-3}$

ges.  $n_i(T_2 = 300 \text{ K}) = ?$   $n_i \sim T^{3/2} \exp\left(-\frac{\Delta W_g}{2k_B T}\right)$

Bildung des Quotienten:

$$\frac{n_i(T_2)}{n_i(T_1)} = \left(\frac{T_2}{T_1}\right)^{3/2} \exp\left(-\frac{\Delta W_g}{2k_B T} \left(\frac{1}{T_2} - \frac{1}{T_1}\right)\right)$$

$$n_i(300 \text{ K}) = n_i(500 \text{ K}) \cdot 9,33 \cdot 10^{-10} \text{ cm}^{-3}$$

Ladungsträgerkonzentration  $n$  und  $p$   
Wie viele  $e^-/m^+$  tragen zur elektr. Leitung bei?

$$n = \int_{CB} D_c(\omega) \cdot f_m(\omega) d\omega \quad (*)$$

$$p = \int_{VB} D_v(\omega) \cdot f_p(\omega) d\omega \quad (**)$$

$D_c(\omega), D_v(\omega) \Rightarrow FS$

$D_c(\omega), D_v(\omega)$ :  
Zustandsdichten im

CB/VB

$f_m(\omega), f_p(\omega)$ :  
Verteilungsfunktion für  
 $m^+, e^-$

(FD - oder Boltzmann vert.)

$$D_c(\omega) = \frac{4\pi(2m_n^*)^{3/2}}{\hbar^3} \cdot (\omega - \omega_c)^{1/2}$$

$$D_v(\omega) = \frac{4\pi(2m_p^*)^{3/2}}{\hbar^3} \cdot (\omega_v - \omega)^{1/2}$$

$$f_m(\omega) = f_{B,n}(\omega)$$

$$f_p(\omega) = f_{B,p}(\omega)$$

Lösen von (\*) & (\*\*)

$$n = N_c \cdot \exp\left(-\frac{\omega_c - \omega_{Fi}}{k_B T}\right)$$

$$\text{mit } N_c = 2 \left( \frac{2\pi m_n^* k_B T}{\hbar^2} \right)^{3/2}$$

$$p = N_v \cdot \exp\left(-\frac{\omega_{Fi} - \omega_v}{k_B T}\right)$$

$$\text{mit } N_v = 2 \left( \frac{2\pi m_p^* k_B T}{\hbar^2} \right)^{3/2}$$

$$\left. \begin{array}{l} N_c \\ N_v \end{array} \right\} \text{effektive Zustandsdichte im} \left\{ \begin{array}{l} CB \\ VB \end{array} \right.$$

$$N_c, N_v \sim T^{3/2} \quad \text{Temperaturabhängigkeit}$$

# Fermienergie im Eigenhalbleiter

Aus  $n=p$  (Elektronenneutralität)

$$\Leftrightarrow N_c \exp\left(-\frac{W_c - W_{Fi}}{k_B T}\right) = N_v \cdot \exp\left(-\frac{W_{Fi} - W_v}{k_B T}\right)$$

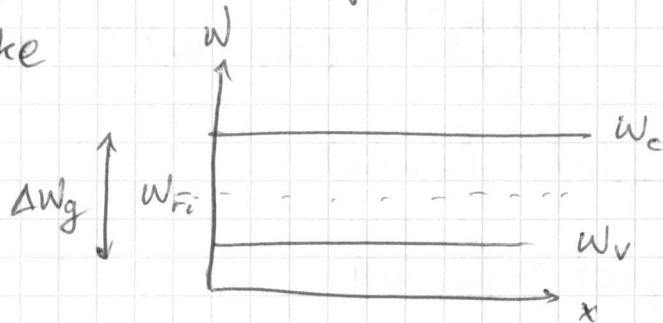
... kann  $W_{Fi}$  berechnet werden

$$\Delta W_g = W_c - W_v$$

$$W_{Fi}(T) = \underbrace{W_v + \frac{1}{2} \Delta W_g}_{\text{Bandmitte}} + \underbrace{\frac{3}{4} k_B T \cdot \ln\left(\frac{m_p^*}{m_n^*}\right)}_{\substack{\text{keine Temperaturabhängige} \\ \text{Korrektur bei } m_p^* + m_n^* \\ \text{wird i.d.R. vernachlässigt}}}$$

$$\Delta W_g = W_c - W_v$$

$\Rightarrow W_{Fi}$  im Eigenhalbleiter liegt in der Mitte der Bandlücke



Miniaufgabe: Effektive Besetzung der Zustände  
 effektive Besetzung der Zustände  $n(w)$ ,  $p(w)$   
 einzeichnen und Bereiche markieren, die  
 von Elektronen besetzt sind (Folie 2)

Dotierte Halbleiter

Störstoffsdotierstoffe

→ Einfüben von Fremdatomen  
ins Kristallgitter  
→ gezielte Beeinflussung der  
Ladungsträgerdichte und  
Leitfähigkeit

### Donatordotierung

z.B. 5-wertiges Element (P, As, Sb) auf Si-Gitter.

platz  
Donatorkonzentration  $N_D$   
→ Folie 3 (links)

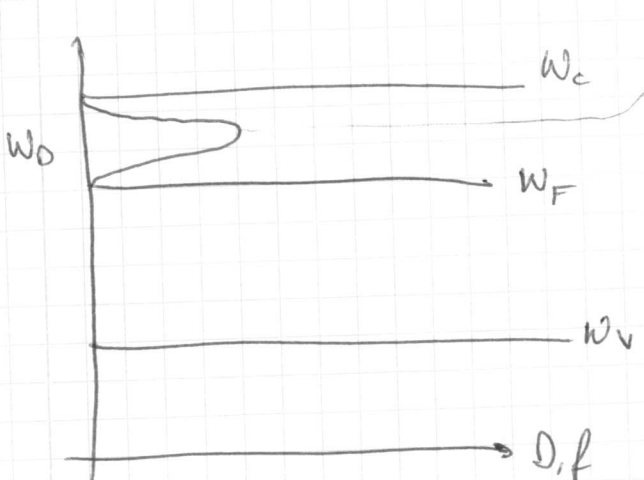
### Akzeptordotierung

z.B. 3-wertiges Element (B, Al, Ga) auf Si-Gitterplatz  
Akzeptorkonzentration  $N_A$

→ Folie 3 (rechts)

Effektive Besetzung der Zustände  
im dotierten HL

z.B. n-dotierter HL



Dotier niveau =  
im Vergleich zum  
Eigenhalbleiter zus. Zustände  
bei  $W = W_D$  durch  
Donatoren  
Zustandsdichte  $D_D(W)$   
bestimmt durch  $N_D$

# Charakteristische Temperaturbereiche

3 Bereiche mit unterschiedlichen Verhalten der Ladungsträgerkonzentration und Leitfähigkeit

- 1) Eigenleitung
- 2) Störstellenerschöpfung
- 3) Störstellreserve

Allgemein  $n \cdot p = n_i^2$  (in allen 3 Bereichen)  
MWG für  $e^-$  und  $n^+$

Allg. Formel für Leitfähigkeit

$$G = e(n\mu_n + p\mu_p) \quad \begin{matrix} \leftarrow \\ \text{kann für eine} \\ \text{Temp. Bereiche vereinfacht} \\ \text{werden} \end{matrix}$$

- 1) Eigenleitung

$T$  ausreichend, um Neutralsorten  $n_i$  zu erzeugen:

$$N_D \ll 2n_i; N_A \ll 2n_i$$

	für m- und p-dot. HL
Trägerdichten	$n = p = n_i \sim T^{3/2} \exp(-\frac{\Delta E_g}{2k_B T})$
Leitfähigkeit	$G = e(n\mu_n + p\mu_p)$ $= e n_i (\mu_n + \mu_p)$

$\Rightarrow$  vgl. Eigenhalbleiter

# Störstellenerschöpfung ("mittlere T")

$T$  nicht ausreichend, um nennenswerte  $n_i$  zu erzeugen, wohl aber, um alle Dotierstoffatome ionisieren.

$$N_D \gg 2n_i; \quad N_A \gg 2n_i$$

$$N_D^+ = N_D \quad N_A^- = N_A$$

	$n\text{-HL}$	$p\text{-HL}$
Trägerdichten	$n = N_D + f(T)$	$p = N_A + f(T)$
	$p = \frac{n_i^2}{m} = f(T)$	aus $n \cdot p = n_i^2$ $(n_i = f(T)) \quad m = \frac{n_i^2}{p} = f(T)$
Leitfähigkeit	$n \gg p$ $\sigma = e n \mu_n$ $= e N_D M_m$ $(\mu_n = f(T))$	$p \gg n$ $\sigma = e p \mu_p$ $= e N_A M_p$ $(\mu_p = f(T))$

# Störstellenreserve ("geringe T")

$T$  so klein, dass nur ein Teil der Dotierstoffatome ionisiert ist:  $N_D^+ < N_D$ ;  $N_A^- < N_A$

	$n\text{-HL}$	$p\text{-HL}$
Trägerdichten	$m = \sqrt{\frac{N_c N_D}{2}} \exp\left(-\frac{\Delta W_D}{2k_B T}\right)$ $\sim T^{3/4} \exp\left(-\frac{\Delta W_D}{2k_B T}\right)$	$p = \sqrt{\frac{N_c N_A}{2}} \exp\left(-\frac{\Delta W_A}{2k_B T}\right)$ $\sim T^{3/4} \exp\left(-\frac{\Delta W_A}{2k_B T}\right)$
	$n = N_D^+ = N_D \left(1 - f_{FD,A}(\omega)\right)$ $= N_D \cdot \frac{1}{1 + 2 \exp(-\frac{W_D - \omega}{k_B T})}$	$p = N_A^- = N_A \cdot f_{FD,A}(\omega)$ $= N_A \cdot \frac{1}{1 + 2 \exp(-\frac{W_F - \omega}{k_B T})}$
Minoritäten	$p = \frac{n_i^2}{m}$ aus: $n \cdot p = n_i^2$	$m = \frac{n_i^2}{p}$
Leitfähigkeit	es gilt $m \gg p$ $\sigma = e \cdot n \cdot \mu_n$ $= f(T), \text{ da } \mu_n = f(T)$	$p \gg n$ $\sigma = e p \mu_p = f(T)$ $\Rightarrow \dots$

→ Folie 4



Welcher Dotierstoff höhere Aktivierungsenergie  $W_A$ ?  
Gleiches HL-Grundmaterial oder verschieden?

Berechnung der Fermi-Energie  
im dotierten HL

Ausgangspunkt: Elektronenneutralitätsbed.

$$p + N_D^+ = n + N_A^-$$

$$\text{mit } p = N_V \exp\left(-\frac{W_F - W_v}{k_B T}\right)$$

$$n = N_c \exp\left(-\frac{W_c - W_F}{k_B T}\right)$$

Formelsammlung

$$N_D^+ = N_D (1 - f_{B,D}(W_D)) = N_D (1 - 2 \exp(-\frac{W_D - W_F}{k_B T}))$$

$$N_A^- = N_A f_{B,A}(W_A) = N_A (1 - 2 \exp(-\frac{W_F - W_A}{k_B T}))$$

⇒ Gleichung mit  $W_F$  als Unbekannte

i.d.R. nur Donatoren ( $N_A = 0$ , n-HL)

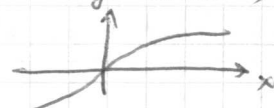
oder Akzeptoren ( $N_D = 0$ , p-HL)

$$\underline{n-HL}: W_F = W_v + \frac{1}{2} \Delta W_g + \frac{3}{4} k_B T \ln\left(\frac{m_p^*}{m_n^*}\right) + k_B T \operatorname{arsinh}\left(\frac{N_D}{2n_i}\right)$$

$$\underline{p-HL}: W_F = W_v + \frac{1}{2} \Delta W_g + \frac{3}{4} k_B T \ln\left(\frac{m_p^*}{m_n^*}\right) + k_B T \operatorname{arsinh}\left(-\frac{N_A}{2n_i}\right)$$

Eigengeleitungsbereich  
vgl. Eigenhalbleiter

$$y = \operatorname{arsinh}(x)$$



Beitrag durch ionisierte Störstellen  
(caft Änderung im Bereich der SE her vor)

# Temperaturabhängigkeit der Fermienergie im dotierten HL

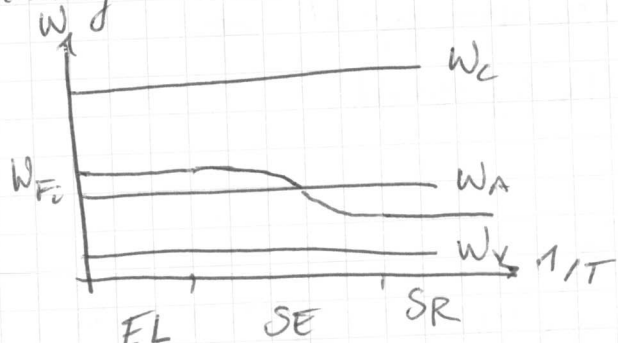
Bereich	n-HL	p-HL
Eigleitung	$W_F = W_{Fi} + f(T)$	$W_F = W_{Fi} + f(T)$
		Die schwache Temperaturabhängigkeit aufgrund von $m_n^* \neq m_p^*$ wird i.d.R. vernachlässigt
Störstellenversch.	$W_F \uparrow$ mit $T \downarrow$	$W_F \downarrow$ mit $T \downarrow$
Störstellenreserve	$W_F > W_D$ $W_F \rightarrow \frac{1}{2}(W_c + W_D)$ mit $T \downarrow$	$W_F < W_A$ $W_F \rightarrow \frac{1}{2}(W_A + W_V)$ mit $T \downarrow$

Miniaufgabe: Temperaturabhängigkeit

des Ferminiveaus

Skizzieren Sie den temperaturabhängigen Verlauf der Fermienergie eines p-dotierten HL in

Abbildung



# Ladungsträgerbeweglichkeit in Halbleitern

$$\mu_n = \frac{e T_m}{m_n^*} \quad \mu_p = \frac{e T_p}{m_p^*}$$

$T_m, T_p$ : mittlere Stoßzeit

$$\mu_n = f(F)$$

2 unterschiedliche Strommechanismen mit unterschiedl.  
Abhängigkeiten von  $T$

1) Stromung an Phononen (Gitterschwingung)

bei hohen  $T$ , niedrigen  $N_A, N_D$

$$T = \frac{\lambda}{v_{th}} \leftarrow \text{mittl. freie Weglänge} \sim T^{-1}$$

$v_{th} \leftarrow \text{harm. Geschw.} \sim T^{1/2}$

$$\Rightarrow \mu_{n,ph} \sim T^{-3/2}, \quad \mu_{p,ph} \sim T^{-3/2}$$

2) Stromung an Störstellen/Ionen

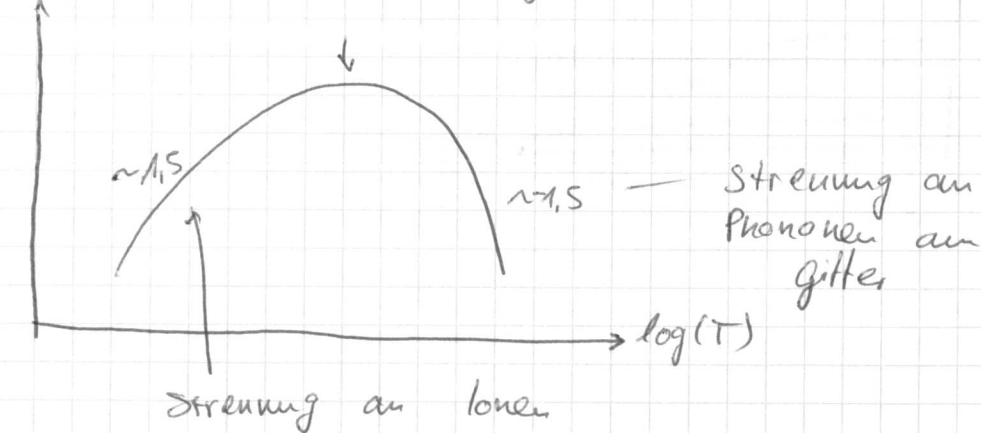
bei niedriger  $T$  & hohen  $N_A, N_D$   $\mu_{n,ion} \sim T^{3/2}$

$\Rightarrow$  Folie S.5

$$\mu_{p,ion} \sim T^{3/2}$$

Temperaturabhängigkeit ~~der~~

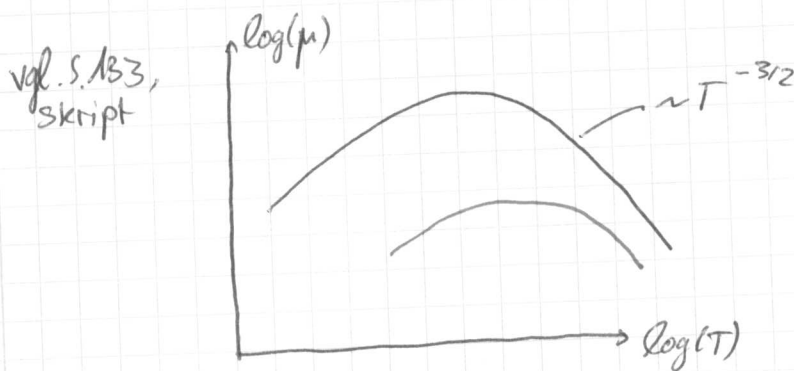
der Beweglichkeit



$$\text{Allgemein: } \mu \sim T^{-\beta}$$

## Miniaufgabe: Ladungsträgerbeweglichkeit

HL dotiert mit Dotierstoff von Dichte  $N_{D1}$   
 → Zeichne Verlauf der temperaturabhängigen  
 Beweglichkeit für Fall, dass HL mit  
 $N_{D2} > N_{D1}$  dotiert (für  $N_{D1}$  Ladungsträgerbeweg-  
 lichkeit gegeben)



größere Dot.  
 ⇒ insges. kleineres  $\mu$   
 ⇒ Versch. in  $y$ -Richtung

ionischer Anteil dominiert  
 länger  
 → Versch. des Maximums zu größerem Temp. T  
 - ionischer Ast knickt stärker ab:  $\mu_n \rightarrow T^{-3/2}$

Temperaturabhängigkeit der Leitfähigkeit (vgl. A2)

$$\sigma = e(n\mu_n + p\mu_p)$$

$$\mu_n \sim \mu_p \sim T^{-3/2}$$

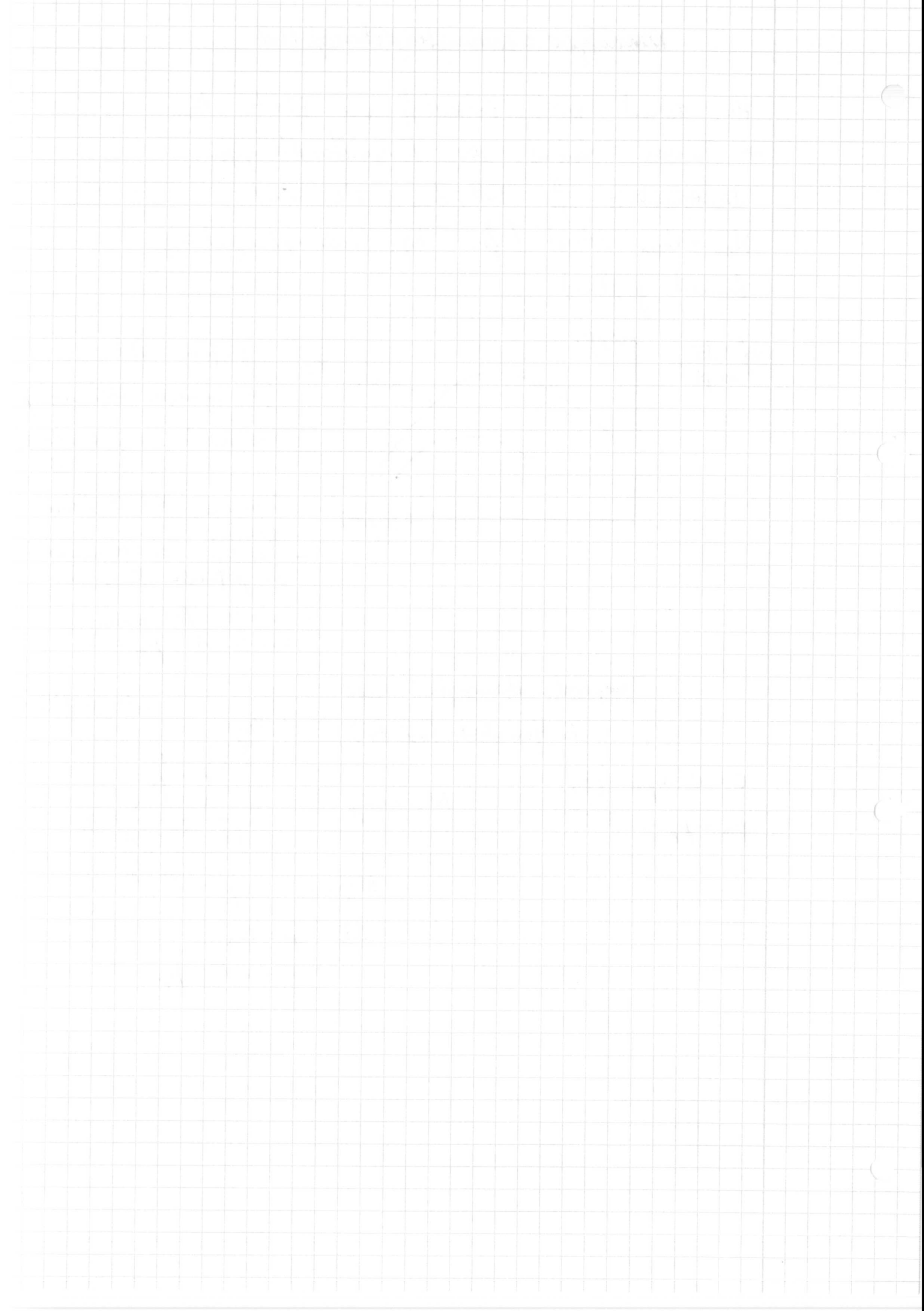
Abbildung



Allgemein:  $\mu \sim T^{-\beta}$

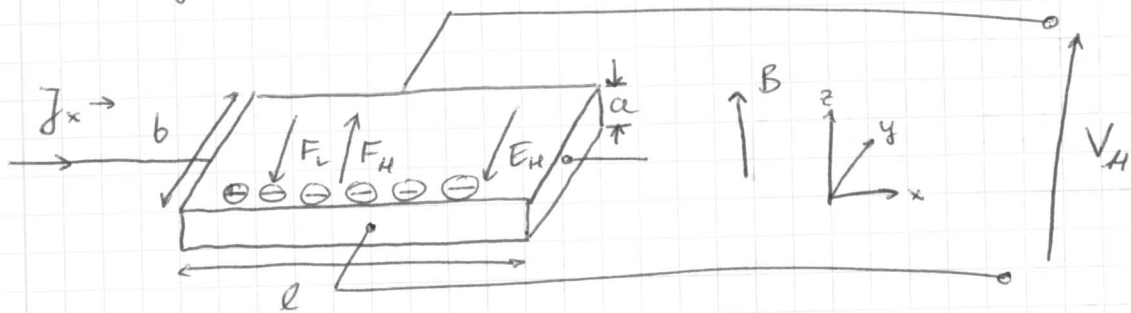
$$SE: p = N_A$$

$$\sigma = e N_A \cdot \mu_p$$



## Der Hall-Effekt

(experimentelle Bestimmung von Ladungsträgerart, Polarität der Ladungsträger, Ladungsträgerkonzentration, Beweglichkeiten)



Ladungsträger driften in x-Richtung

$e^-$ : in negative x-Richtung

$n^+$ : in positive x-Richtung

z.B. n-dot. HL: Ladungsträger sind  $e^-$

$v_D$  in negative x-Richtung

Driftgeschw. der  $e^-$

Auf bewegte Ladungsträger im Magnetfeld wirkt Vektor in pos. y-Richtung die Lorentzkraft:  $\vec{F}_L = q(\vec{v}_D \times \vec{B})$  pos. z-Richtung  
neg. x-Richtung

Für Elektronen  $q = -e$

$\rightarrow \vec{F}_L$  in negative y-Richtung

$$\vec{F}_L = -e v_{D,x} \cdot B_z \cdot \vec{e}_y$$

Elektronen werden zum vorderen Rand des Plättchens abgelenkt

Gegenfeld  $E_H$  baut sich auf, das mit seitlichen Elektroden Elektroden als Hallspannung gemessen werden kann

Kraft des Gegenfeldes kompensiert die Lorentzkraft:

$$F_L + F_H = 0$$

$$\Leftrightarrow \frac{e v_0 B_z}{-F_L} = \frac{e E_H}{F_H}$$

$$\text{Mit } V_H = b \cdot E_H \quad V_{\text{Drau}} = - \frac{J_x}{e \cdot n \cdot a b}$$

$$\rightarrow V_H = - \frac{1}{me} \frac{J_x B_z}{a}$$

$R_H$ : Hallkoeffizient (hier für n-dot. HL)

Halleffekt im p-dot. HL

$$\vec{F}_L = q(\vec{v}_0 \times \vec{B})$$

$\vec{v}_0$ : in pos. x-Richtung

$\vec{B}_z$ : in pos. z-Richtung

2 andere VZ

$$q = e$$

im Vergleich zum

Halleffekt im  
n-dot. HL

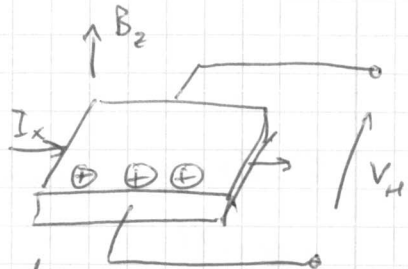
- Löcher werden in die gleiche Richtung abgelenkt (hier in neg. y-Richtung)

- $V_H$  ändert das Vorzeichen im Vergleich zum n-HL

- $R_H = \frac{1}{ep}$  Herleitung für Hallspannung /

Herleitung für Hall Hallkoeffizient: S.A3 A23

$R_H$



# Hallkoeffizient (materialabhängig)

$$R_H = -\frac{1}{e n} \quad (\text{Elektronenleitung})$$

$$R_H = \frac{1}{e p} \quad (\text{Löcherleitung})$$

$$R_H = \frac{1}{e} \frac{p\mu_p^2 - n\mu_n^2}{(\mu_p + \mu_n)^2} \quad (\text{gemischte Leitung})$$

vgl. A23

Temperaturabhängigkeit von  $R_H$   
im HL

Eigenleitung  $n = p = n_i$

$$R_H = \frac{1}{e n_i} \cdot \frac{\cancel{p\mu_p^2} - \mu_n^2}{(\mu_p + \mu_n)^2} = \frac{1}{e n_i} \frac{\mu_p - \mu_n}{\mu_p + \mu_n}$$

$$n_i \sim T^{3/2} \exp\left(-\frac{\Delta W_A}{2k_B T}\right) = \frac{1}{e n_i} \left(\frac{1-b}{1+b}\right) \quad \text{mit} \quad b = \frac{\mu_n}{\mu_p}$$

$$\mu_n \sim \mu_p T^{-3/2}$$

(Phonenströmung) i.d.R.  $\mu_n > \mu_p$ , d.h.  $R_H < 0$  im Eigenleitungs-  
bereich

$$\Rightarrow R_H \sim \exp\left(\frac{\Delta W_A}{2k_B T}\right) \cdot T^{3/2} \sim \frac{1}{n_i}$$

m-HL

Störstellenuntersch.:  $n = N_D \gg p$

$$R_H = -\frac{1}{N_D e} < 0$$

$$\neq f(T)$$

$$p = N_A \gg n$$

$$R_H = \frac{1}{N_A e} > 0$$

$$+ f(T)$$

Störstellenoversch.:  $n \gg p$

$$R_H = -\frac{1}{n e}$$

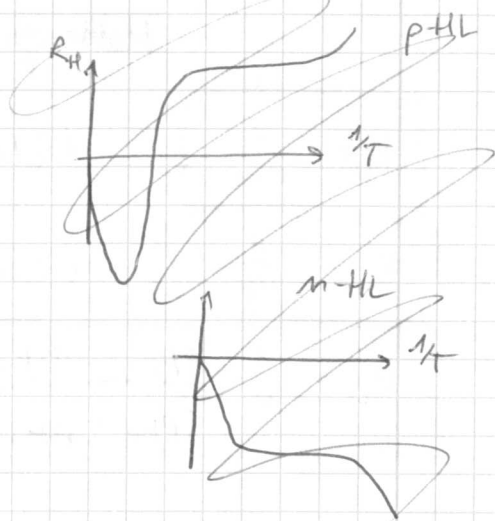
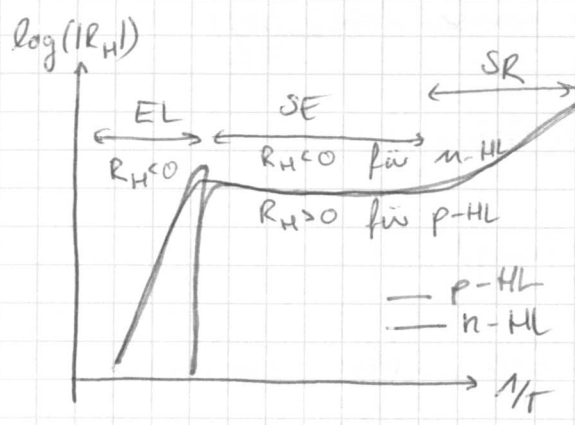
$$\sim T^{-3/4} \exp\left(\frac{\Delta W_A}{2k_B T}\right)$$

$$p \gg n$$

$$R = \frac{1}{p e} > 0$$

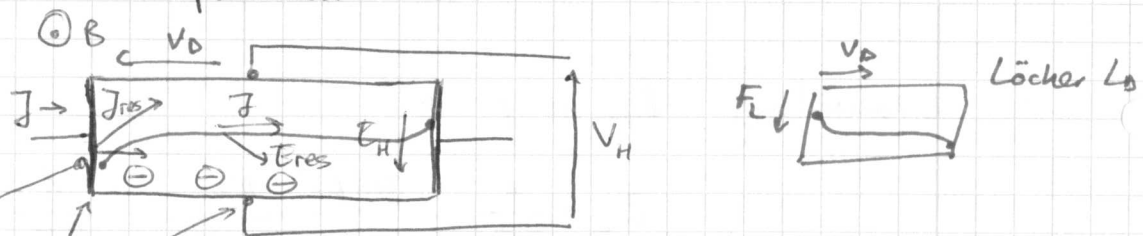
$$\sim T^{-3/4} \exp\left(\frac{\Delta W_A}{2k_B T}\right)$$





Verlauf der Strombahnen im

Hallplättchen



Hallfeldstärke  $E_H$  } außer Feldstärke  $E_a$  } überlagern sich an den seitlichen Elektroden :  $J_y = 0$ , da sich  $F_i$  und  $F_H$  kompensieren



an vorderen und hinter

Elektrode Hallfeld wird

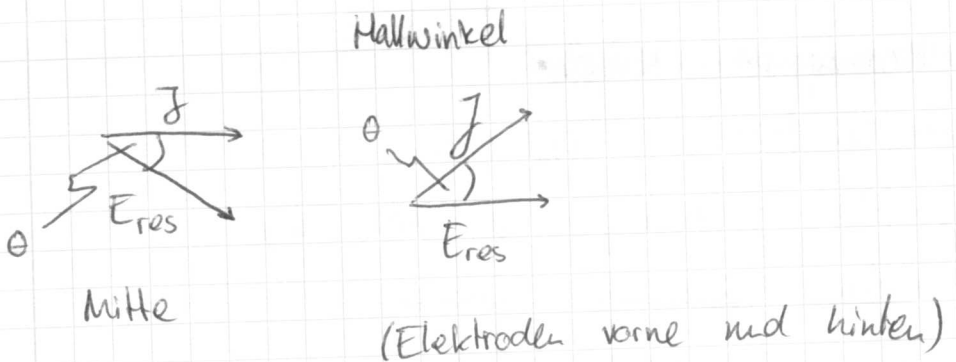
kurzgeschlossen

$$\frac{E_{ex}}{E_{res}}$$

$$E_H = 0, \quad E_y = 0, \quad E_x \neq 0$$

(Aus  $E_{tan}$  stetig)

Anteil  $J_y$ , da die Ladungsträger von  $F_i$  abgelenkt werden ( $F_i$  wird nicht durch  $F_H$  kompensiert) da  $F_H = 0$  (wg.  $E_H = 0$ )



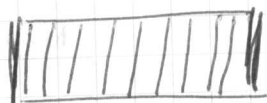
Maß für Abweichung zwischen  $\vec{E}$  und  $\vec{J}$   
Hallwinkel  $\Theta_H$  (überall gleich in der Hallplatte)

$$\tan \Theta_H = \frac{E_H}{E_a} = -\frac{\frac{1}{ne} J_x B_z}{\frac{1}{npme} J_x} = -\mu_m B_z$$

$\frac{1}{n}$

wenn  $\Theta_H$  bekannt ist, kann die Beweglichkeit bestimmt werden  
bei Löcherleitung  $\tan \Theta_H = \mu_p B_z$

Kurzschließende Fäden  
in y-Richtung



→ überall in der Platte

KGÜ A3  
Übung A11

$$E_y = 0$$

→ Widerstandserhöhung durch Magnetfeld  
steuerbar



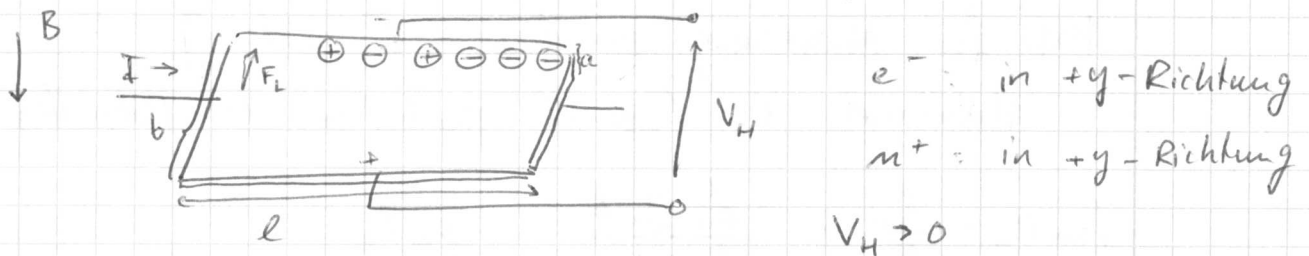
## Miniaufgabe: Hall-Effekt

an Halbleiter-Plättchen Hallmessung

→ in welche Richtung  $e^-$ -Ablenkung

in welche Richtung Löcher

Vorzeichen gemessene Hallspannung



$B_z$  negativ

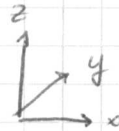
$R_H$  negativ

⇒  $V_H$  pos.

$$V_H = R_H \cdot \frac{J \times B_z}{a}$$

allgemeine  
Formel für  
 $R_H$

$$R_H = \frac{1}{e} \left( \frac{p_{MP}^2 - n_{PN}^2}{(p_{MP} + n_{PN})^2} \right)$$



## Nichtgleichgewichte

(Ausgleichsvorgänge, ungleichgewicht durch Drift / Diffusion abgebaut)

Störung des Gleichgewichts, z.B. Elektronenblitz, elektromagn. Strahlung

$$n \cdot p > n_i^2$$

Abbau von Raumladungsinhomogenitäten

1) Raumladung von Majoritäten

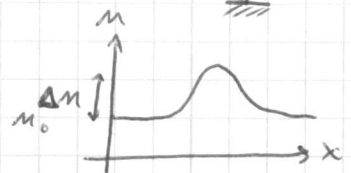
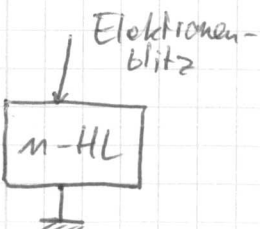
z.B. Elektroneninjektion in n-HL

Diffusionsströme vernachlässigbar

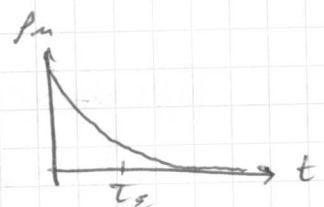
$$\rho_m = -e \Delta N \text{ Raumladung}$$

Mit der Raumladung geht ein E-Feld einher:

$$\operatorname{div} \vec{E} = \frac{\rho_0}{\epsilon_0 \cdot \epsilon_r}$$



Kontinuitätsgleichung:  $\operatorname{div} \vec{j} = -\frac{\partial p_m}{\partial t}$   
 $= \operatorname{div}(G \vec{E})$



→ DGL für zeitlichen Verlauf der Raumladung

$$\frac{\partial p_m}{\partial t} = -\frac{\sigma}{\epsilon_0 E_r} p_m \quad \text{Lsg: } p_m \sim \exp(-\frac{t}{\tau_\varepsilon}) \quad \text{mit } \tau_\varepsilon = \frac{\epsilon_0 \cdot E_r}{\sigma}$$

dielektrische Relaxation

Abbau der RL durch Wegdriften  
der  $e^-$  / Majoritäten

Abbau von Raumladungsinhomogenitäten

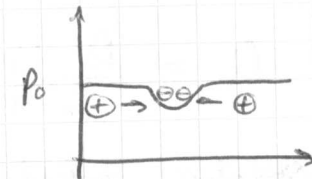
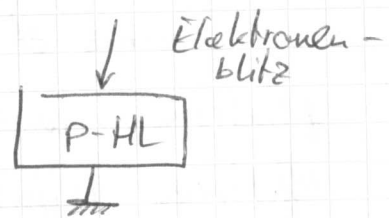
2) Raumladung von Minoritäten

z.B. Elektroneneinjektion in p-HL

Abbau der RL wieder:

$$p_o \sim \exp(-\frac{t}{\tau_\varepsilon})$$

Ladung abbau durch Drift/Zufluss  
von Majoritäten (hier: Löcher)



Generation und Rekombination von  
Elektron-Loch-Paaren

bisher: therm. Anregung (thermodyn.)

jetzt: optische Anregung

z.B. Einstrahlung von elektromagn. Wellen Strahlung (Licht)

der Energie  $W = h \cdot f > \Delta W_g$

ständige Energiezufuhr, kein thermodyn. GG:  $n_i p > n_i^*$

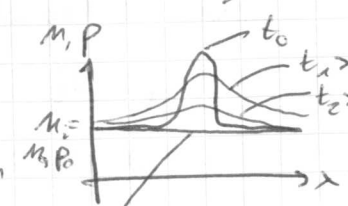
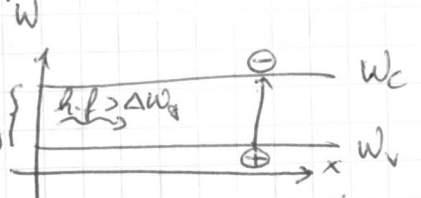
Photonen werden absorbiert

$e^- / e^+ n^+$  - Paare generiert  $\Delta W_g$

↪ keine Raumladung generiert

kein Abbau der Überschussladungen

durch Drift, sondern durch Diffusion



vor Einschalten  
und nach Relaxation

## Diffusionsstromdichten:

$$\vec{J}_n = e \cdot D_n \cdot \text{grad} n \quad \text{mit} \quad D_n = \frac{k_B T}{e} \mu_n$$

$$\vec{J}_p = -e \cdot D_p \cdot \text{grad} p \quad D_p = \frac{k_B T}{e} \mu_p$$

↙  
Einstein-Beziehung

## Ambipolarer Transport

$$D_n > D_p, \text{ da } \mu_n > \mu_p$$

→ Separation der Ladungsträger

→ internes el. Feld (anziehende Kraft)

Elektronen und Löcher diffundieren mit einem effektiven Diffusionskoeffizienten:

$$D_a = \frac{D_n \cdot D_p (n+p)}{D_n \cdot n + D_p \cdot p} \quad \text{ambipolarer } D_a$$

$$1) \text{ starke Injektion } (\Delta n \gg n_0, \Delta p \gg p_0) \quad n \approx p \Rightarrow D_a = \frac{2 D_n D_p}{D_n + D_p}$$

$$2) \text{ schwache Injektion} \quad \Rightarrow \text{Bei schwacher}$$

$$n\text{-HL: } \Delta p, \Delta n \ll n_0 \quad \Rightarrow D_a \approx D_p \quad \text{Injektion wird}$$

$$p\text{-HL: } \Delta p, \Delta n \ll p_0 \quad \Rightarrow D_a \approx D_n \quad \text{die Diffusion der}$$

$e^-/n^+$ -Paare von der  
Diffusionskonstante  $n$   
der Minoritäten bestimmt

## Rekombination

bei starker Injektion:

$$R = f(\Delta n, \Delta p)$$

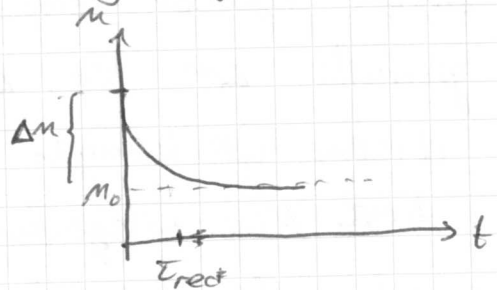
bei schwacher Injektion:

$$p\text{-HL: } R = f(\Delta n)$$

$$n\text{-HL: } R = f(\Delta p)$$

Ableitungen der Überschussladungsträger mit der Zeitkonstanten  $\tau_{\text{rec}}$

$$\tau_{\text{rec}} \approx 10^{-3} \text{ s}, \dots, 10^{-10} \text{ s}$$



Bei Rekombination wird

Energie  $W = \Delta W_g$  frei

→ als Wärme aus Gitter

→ oder Photon der Energie  $W = h \cdot f = \Delta W_g$  ausgesendet

Grundgleichung der Prozesse in HL

zu Beschreibung von Generation, Drift, Diffusion, Rekombination

Partikelstrangleichungen

$$(1a) \vec{J}_n = e n \mu_n \vec{E} + e D_n \cdot \text{grad} \vec{n}$$

$$(1b) \vec{J}_p = e p \mu_p \vec{E} - e D_p \cdot \text{grad} p$$

Drift-                      Diffusions-  
anteil                      anteil

Kontinuitätsgleichungen

$$(2a) \frac{\partial n}{\partial t} = \frac{1}{e} \text{div} \vec{J}_n + G_n - R_n$$

$$(2b) \frac{\partial p}{\partial t} = -\frac{1}{e} \text{div} \vec{J}_p + G_p - R_p$$

↑                              ↓  
Generations-                Rekombinations-  
rate                          rate

Rekombinationsrate:

$$(3a) R_n = -\frac{\partial \Delta n}{\partial t} = \frac{\Delta n}{\tau_{\text{rec}}} \quad \begin{matrix} n-n_0 \\ \nearrow \end{matrix}$$

$$(3b) R_p = -\frac{\partial \Delta p}{\partial t} = \frac{\Delta p}{\tau_{\text{rec}}}$$

(bei schwacher Injektion)

Generationrate:

## Generationsrate

Durch Injektion oder Lichteinstrahlung  
generierte  $\Delta n$  bzw.  $\Delta p$

Aus diesen Gleichungen ((1) - (3)) können DGL m  
für diese Minoritätsladungsträger hergeleitet werden

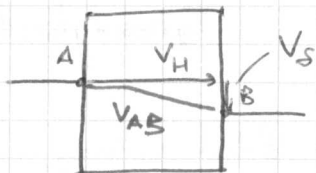
S. z.B. Aufgabe 4, Übung (dort für n-HL)

### Klausuraufgabe

(a)

$$V_{AB} = V_H + V_S$$

Das  $V_2$  von  $V_H$  hängt vom  
Magnetfeld ab,  $V_S$  unabhängig  
vom Magnetfeld B-Feld



$$V_{AB}^+ = V_H^+ + V_S$$

$$V_{AB}^- = -V_H^- + V_S$$

$$\Rightarrow V_H = \frac{V_{AB}^+ - V_{AB}^-}{2}$$

$$(b) \quad V_{AB}^+ = 3,2 \text{ mV} \quad \text{aus (a)} \\ V_{AB}^- = -2,8 \text{ mV} \quad \Rightarrow V_H = 3 \text{ mV}$$

ges.  $p = N_A$  (Störstellenversch. laut Aufgabe)

$$R_H = \frac{1}{e} \frac{p\mu_p^2 - n\mu_n^2}{(p\mu_p + n\mu_n)^2} \quad \text{allgemein}$$

$$\begin{aligned} \text{SE: } R_H &= \frac{1}{eN_A} && \text{Gleichsetzen und nach} \\ \text{FS: } R_H &= \frac{V_H \cdot d}{J \times B_2} && N_A \text{ auflösen} \end{aligned}$$

$$N_A = p = \frac{J \times B_2}{e \cdot d \cdot V_H} = 3,121 \cdot 10^{17} \text{ cm}^{-3}$$

(c) ges:  $M_P$ ?

$$\text{Leitfähigkeit in SE: } G = e \mu_p N_A \Rightarrow M_P = \frac{G}{e N_A}$$

ohmscher Spannungsabfall ( $V_S$ )

$$R = \frac{1}{G} \frac{S}{L \cdot d} = \frac{V_S}{J_x}$$

$$\Rightarrow \delta = \frac{S}{Ld} \cdot \frac{J_x}{V_S}$$

$$V_S = V_{AB}^+ - V_H = 0,2 \text{ mV}$$

$$M_P = \frac{1}{e N_A} \frac{\delta}{Ld} \cdot \frac{J_x}{V_S} = 600 \frac{\text{cm}^2}{\text{Vs}}$$

(d) 1D

Partikelstromdichte  $\vec{j}$ :

$$j_m = e n_p \mu_p E + e D_m \frac{d n_p}{dx} \quad \text{mit } M_p$$

Kontinuitätsgl.

$$\frac{\partial n_p}{\partial t} = \frac{1}{e} \frac{\partial j_m}{\partial x} + G_m - R_m$$

$$\rightarrow \frac{\partial M_p}{\partial t} = \frac{1}{e} \frac{\partial}{\partial x} \left( e \cdot n_p \mu_p \cdot E + e D_m \frac{\partial n_p}{\partial x} \right) + G_m - R_p$$

stationärer Fall:  $\frac{\partial M_p}{\partial t} = 0$

$E = 0$ , da beide Ladungsträger generiert werden

$G_m = 0$  (Generation an Oberfläche, großes  $\times$ )

$$R_m = \frac{\Delta M}{\tau_{rec}} = \frac{M_p - M_0}{\tau_{rec}}$$

Absorptions-  
koeffizient

$$\Rightarrow \frac{d^2 M_p}{dx^2} = \frac{M_p - M_0}{\tau_{rec} \cdot D_m}$$

$$(R) \quad \frac{d^2 n_p}{dx^2} = \frac{m_p - m_{p0}}{\tau_{\text{rec}} D_n}$$

homogene DGL: Terme ohne " $n_p$ " zu 0 setzen

$$\frac{d^2 m_p}{dx^2} = \frac{m_p}{\tau_{\text{rec}} \cdot D_n}$$

charakterist. Polynom  $\lambda^2 = \frac{1}{\tau_{\text{rec}} D_n}$

$$\Rightarrow \lambda = \pm \sqrt{\frac{1}{\tau_{\text{rec}} D_n}} = \pm \frac{1}{L_m}$$

$\Rightarrow$  allgemeine homogene Lsg:

$$n_{p, \text{gen}} = A \exp\left(-\frac{x}{L_m}\right) + B \exp\left(\frac{x}{L_m}\right)$$

eine partikuläre Lsg „scharfes Hinsehen“

$$\Rightarrow n_{p, \text{part.}} = n_{p0}$$

$$\rightarrow n_p = A \exp\left(-\frac{x}{L_m}\right) + B \exp\left(\frac{x}{L_m}\right) + n_{p0}$$

$$x \rightarrow \infty : n_p(x \rightarrow \infty) = n_{p0} \rightarrow B = 0$$

$$x=0 : n_p(x=0) = \beta n_{p0} + \Delta n(0)$$

$$\Rightarrow A = \Delta n(0)$$

$$\Rightarrow n_p = \Delta n(0) \cdot \exp\left(-\frac{x}{L_m}\right) + n_{p0}$$

$$(f) \quad J_{n, \text{diff}} = e \cdot D_n \cdot \frac{dn_p}{dx}$$

$$\text{aus } e) \quad n_p = \Delta n(0) \cdot \exp\left(-\frac{x}{L_m}\right) + n_{p0}$$

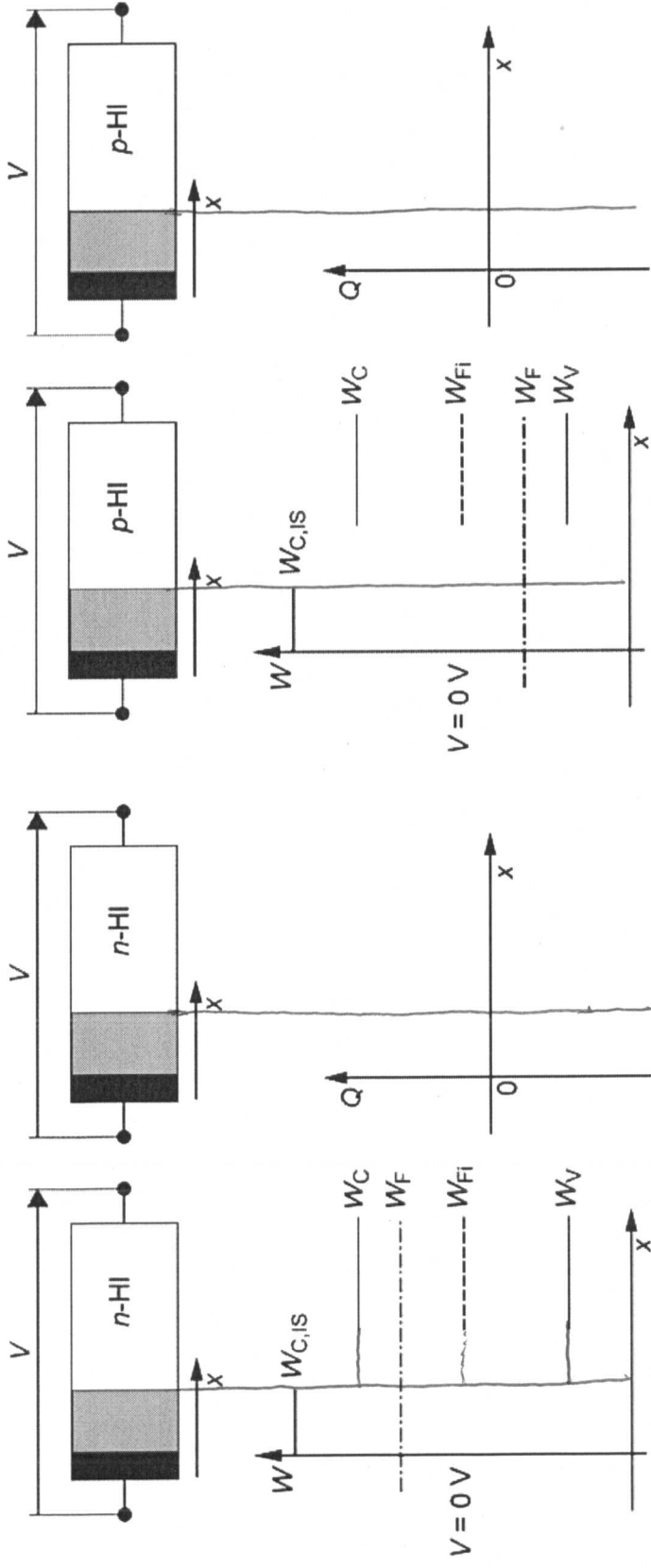
$$\Rightarrow J_{n, \text{diff}} = e \cdot D_n \frac{d}{dx} \left( \Delta n(0) \cdot \exp\left(-\frac{x}{L_m}\right) + n_{p0} \right) \\ = \underline{\underline{e D_n \cdot \Delta n(0) \cdot \exp\left(-\frac{x}{L_m}\right)}}{-L_m}$$

$$(g) \quad \text{geg. } \mu_n, \tau_{\text{rec}}, T \quad \text{und } L_m = \sqrt{D_n \tau_{\text{rec}}} \\ \text{und } D_n = \mu_n \frac{k_B T}{e} \quad (\text{FS})$$

$$L_m = \sqrt{\mu_n \frac{k_B T}{e} \tau_{\text{rec}}}$$

$$= 39,383 \mu\text{m}$$

# Energiebanddiagramme: Der spannungslose Fall



$$W_{F,SC} - W_{F,M} = -eV$$

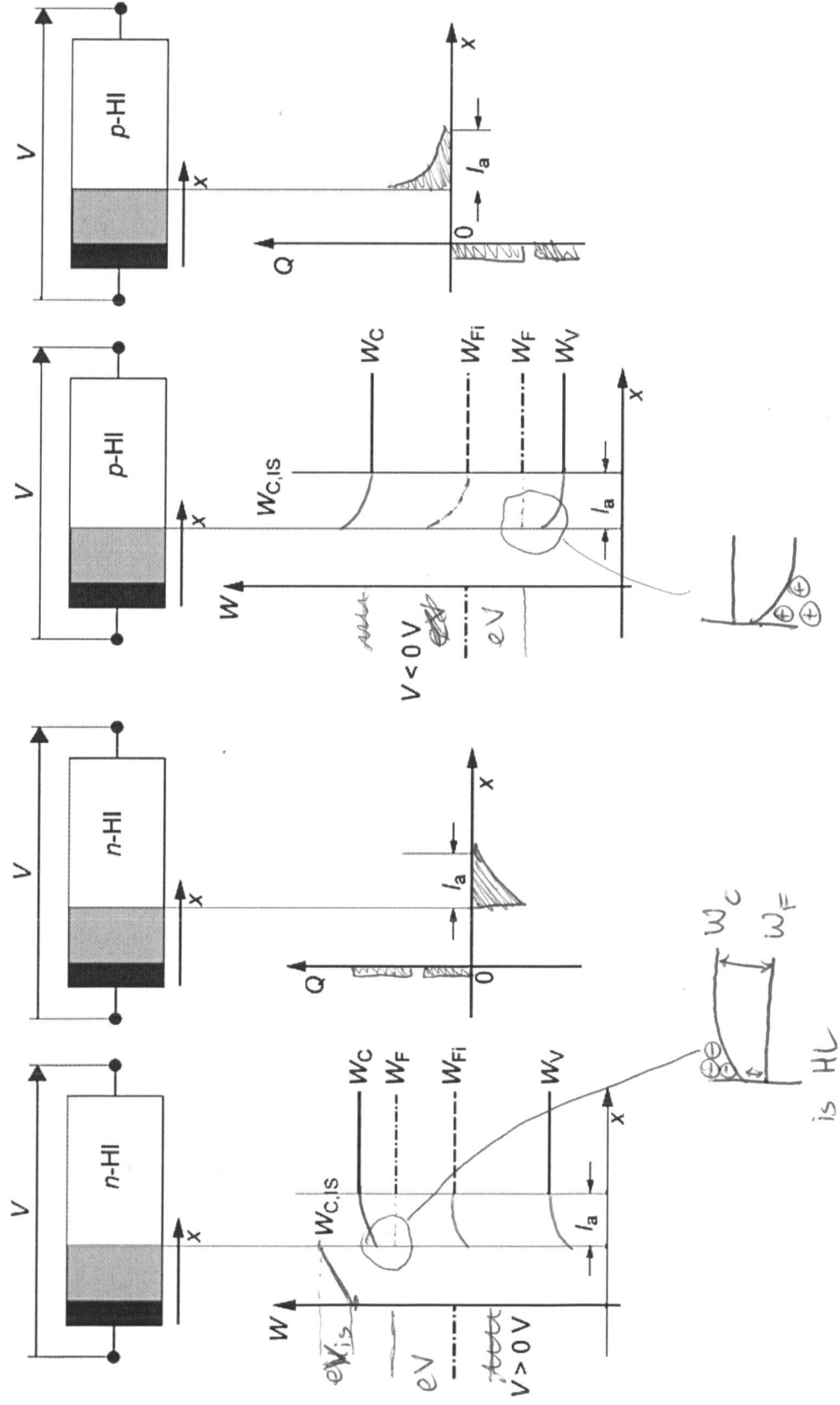
Die angelegte Spannung fällt dann über die gesamte MIS-Struktur ab.  
Wir haben:  $V_{IS}$ : Spannung die über den Isolator abfällt und  $\Delta\varphi$

$\Delta\varphi$ : Spannung die über HI abfällt

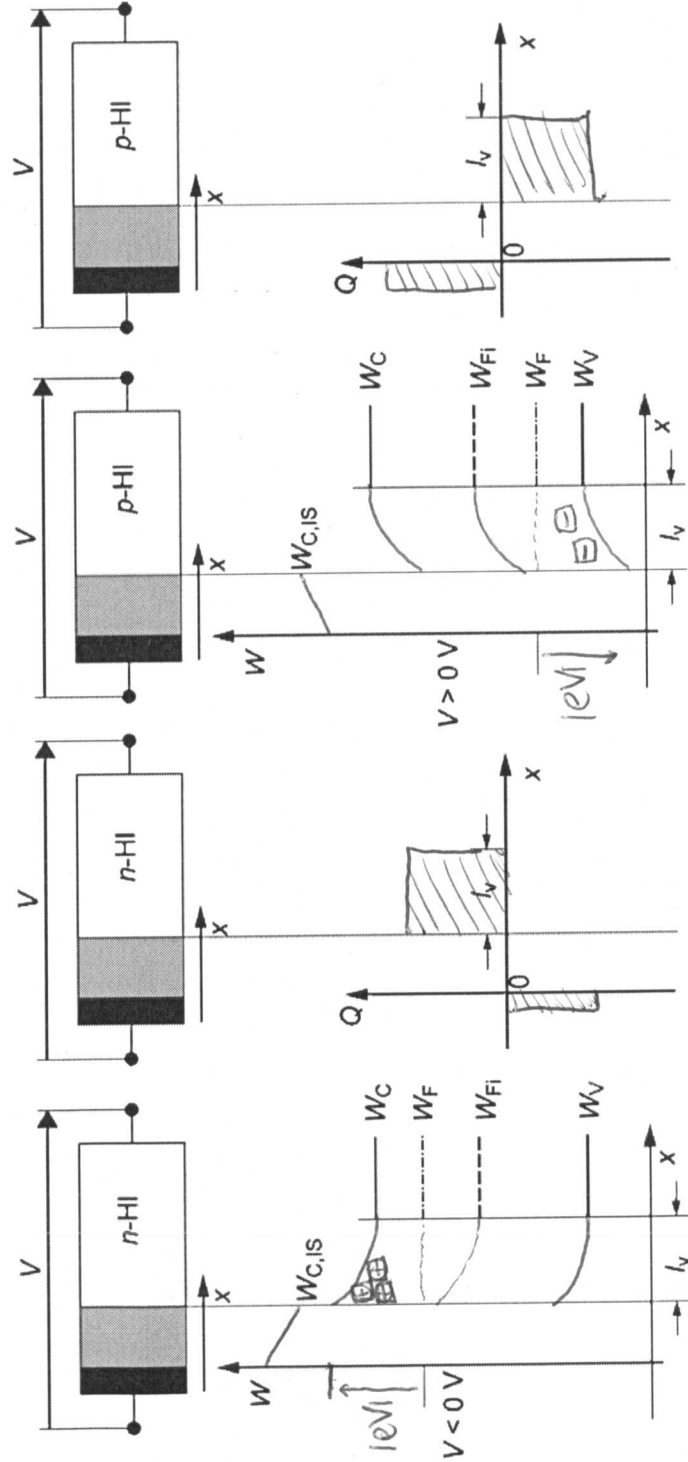
$\Delta\varphi = \varphi(x=0) - \varphi(x \rightarrow \infty)$

$\Rightarrow \varphi_s = \varphi(x=0)$

# Energiebanddiagramme: Anreicherung



# Energiebanddiagramme: Verarmung



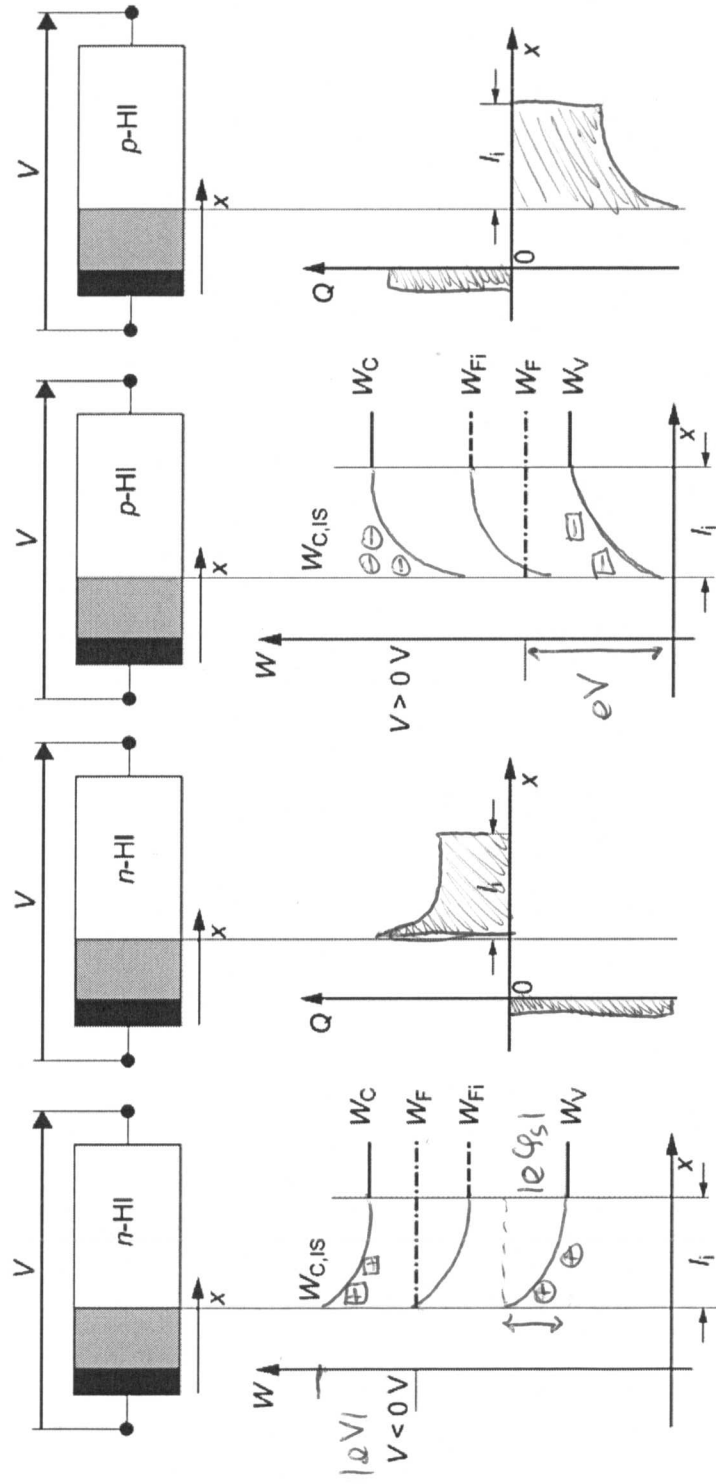
Einschub: MIS-Kondensator verhält sich plattkond.  
in erster Näherung wie

$$V = -\frac{Q_{sc}}{C'_{IS}} + Q_s \quad \text{ist die Bandverlagerung in Ansichtung}$$

rel. klein (ohne Beweis)

$$\Rightarrow V \approx -\frac{Q_{sc}}{C'_{IS}}$$

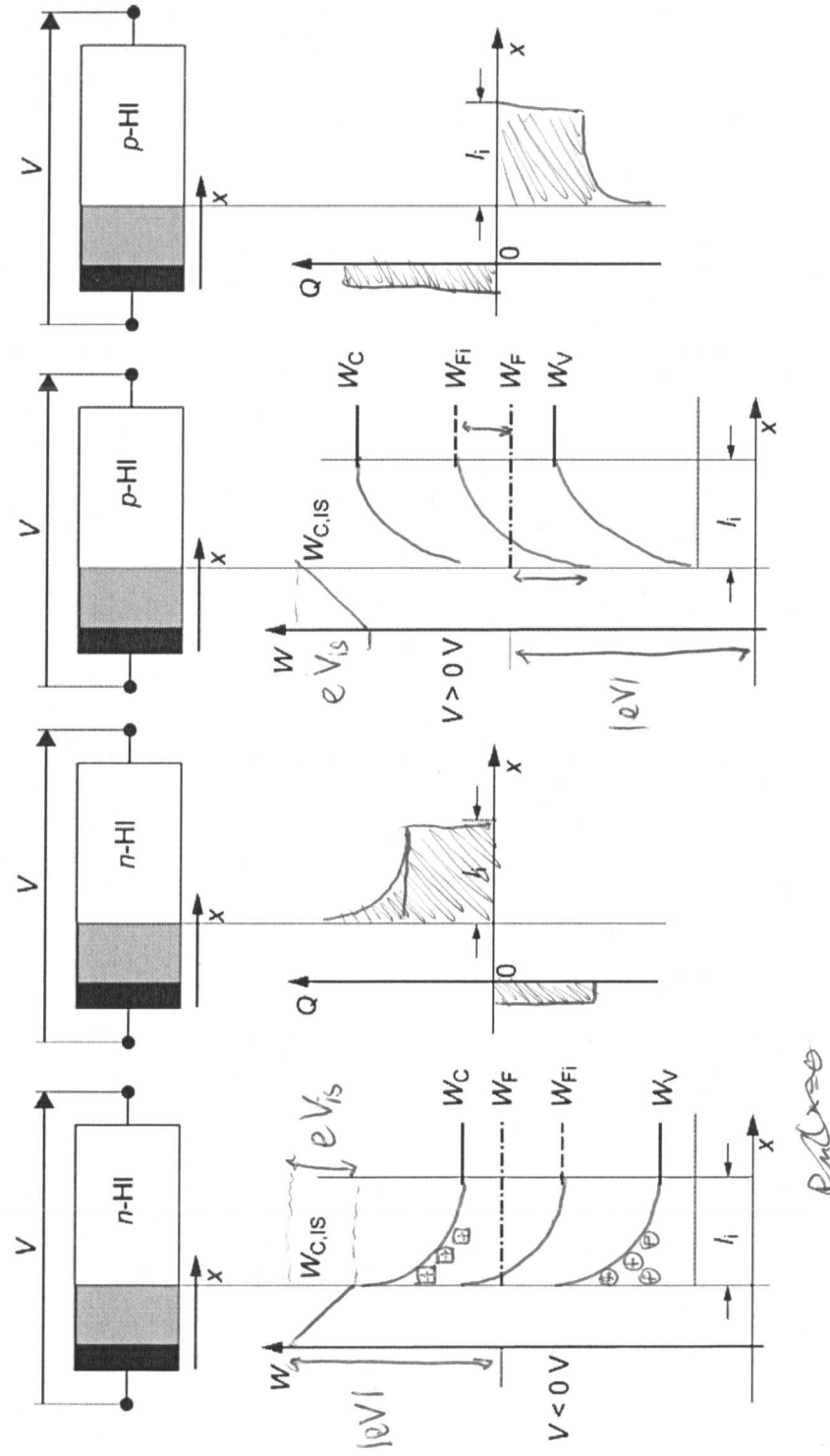
# Energiebanddiagramme: Schwache Inversion



Annahme: Die Flächenladungsdichte  $Q_{sc}$  ist noch klein und kann vernachlässigt werden.  
Beim Übergang von Verarmung zur schwachen Inversion ist  $W_F$  genau in der Bandmitte

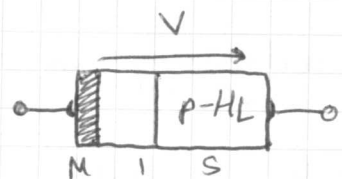
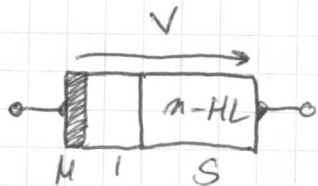
# Energiebanddiagramme: Starke Inversion

$$\frac{P_V}{Nk}$$





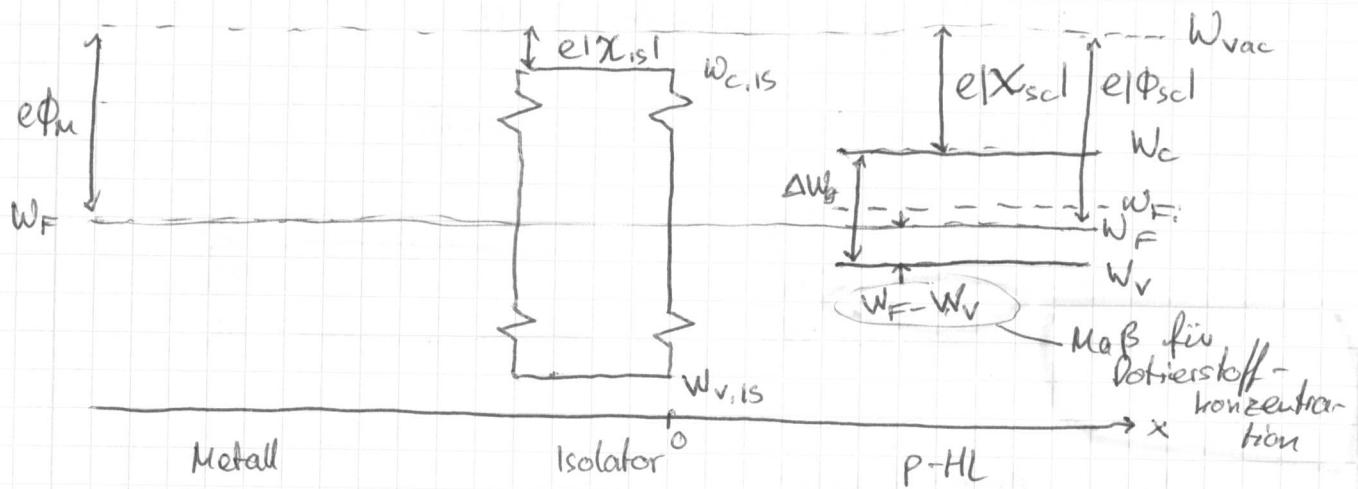
## Der ideale MIS-Kondensator



Metall, Isolator, Semi-conductor

- Es liegen keine Isolatorladungen  $Q_{is}$  vor
- Es liegen keine Grenzflächenladungen  $Q_{ss}$  vor
- kein Stromfluss durch Isolator
- Austrittsarbeiten  $e\phi_M$ , sowie  $e\phi_{sc}$  sind gleich  
 $\Rightarrow e\phi_M = e\phi_{sc}$

Energiebanddiagramme



$$e\phi_M = e\phi_{sc} = e\chi_{sc} + \frac{\Delta W_S}{\epsilon} + (W_{F,i,\infty} - W_F)$$

gilt auch für n-HL

$W_{vac}$  ist Bezugspotential

siehe Energiebanddiagramm: Der spannunglose Fall (Folie)

$\varphi_s$  = Bandverbiegung an der Grenzfläche HL, ls

$$V_{MIS} = V_{ls} + \varphi_s \quad \text{mit} \quad V_{ls} = \frac{-Q'_{sc}}{C'_{ls}}$$

$$Q'_{sc} = \frac{Q_{sc}}{A}$$

$$C'_{ls} = \frac{C_{ls}}{A}$$

A: Gatefläche

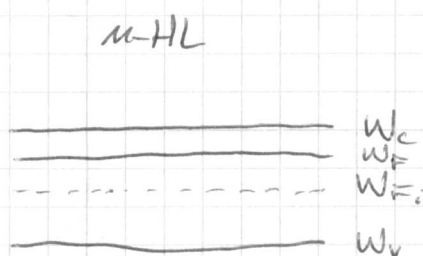
$\varphi_s < 0 \Rightarrow$  Bandverbiegung nach oben

$\varphi_s > 0 \Rightarrow$  Bandverbiegung nach unten

Unterschied  $w_{Fi}$ ,  $w_F$

$w_{Fi} \Rightarrow w_F$  für intrinsischen HL (in der Mitte von C und V)

$w_F \Rightarrow n_F$  für dotierten HL



Für Anreicherung:

Wie groß ist die Konzentration der Ladungsträger (Elektronen + Löcher) an der Grenzfläche?

$$\text{Für n-HL: } n_n(x=0) = n_{no} \cdot \exp\left(\frac{\varphi_s}{V_F^+}\right)$$

$$p_n(x=0) = p_{no} \cdot \exp\left(-\frac{\varphi_s}{V_F^+}\right)$$

Thermospannung  $V_T = \frac{k_B T}{e}$

$$p\text{-HL: } n_p(x=0) = n_{po} \cdot \exp\left(\frac{\varphi_s}{V_F^-}\right)$$

$$p_p(x=0) = p_{po} \cdot \exp\left(-\frac{\varphi_s}{V_F^-}\right)$$

$p_{po}$ : Gleichgewichtskonz. der Löcher im p-HL

8

### Schwache Inversion (Folie 4)

$$n_n(x=0) = N_D \cdot \exp\left(-\frac{\varphi_{s,\text{winv}}}{V_T}\right) = n_i \quad \text{für n-HL}$$

$$p_p(x=0) = N_A \cdot \exp\left(-\frac{\varphi_{s,\text{winv}}}{V_T}\right) = n_i \quad \text{für p-HL}$$

Umformung nach  $\varphi_{s,\text{winv}}$

$$\varphi_{s,\text{winv}} = -V_T \cdot \ln\left(\frac{N_D}{n_i}\right) \quad \text{für n-HL}$$

$$\varphi_{s,\text{winv}} = V_T \cdot \ln\left(\frac{N_A}{n_i}\right) \quad \text{für p-HL}$$

Direkte Bestimmung aus der Differenz zwischen  $W_{F_i,\infty}$  und  $W_F$

$$\varphi_{s,\text{winv}} = W_{F_i}(x \rightarrow \infty) - W_F = W_{F_i,\infty} - W_F$$

### Starke Inversion (Folie 5)

$$p_n(x=0) = p_{no} \cdot \exp\left(-\frac{\varphi_{s,\text{st.inv}}}{V_T}\right) = N_D \quad \text{für n-HL}$$

$$n_p(x=0) = n_{no} \cdot \exp\left(-\frac{\varphi_{s,\text{st.inv}}}{V_T}\right) = N_A \quad \text{für p-HL}$$

In starker Inversion treten große Grenzflächenladungen  $Q_{sc}'$  auf

$\Rightarrow$  Spannungsabfall über Isolator und HL

Muss berücksichtigt werden  $b_{NN}$

$$V = -\frac{Q_{sc}'}{C_{is}} + \varphi_s \quad \varphi_s < \varphi_{s,\text{stinv}} \quad \text{für n-HL}$$

$$p(x=0) > N_D \quad \varphi_s > \varphi_{s,\text{stinv}} \quad \text{für p-HL}$$

$$n(x=0) > N_A$$

## Der reale MIS-Kondensator

- Es können Grenzflächenladungen auftreten
- Es können Isolatorladungen auftreten
- Die Austrittsarbeiten  $e\phi_m, e\phi_{sc}$  können verschieden sein

Energiebanddiagramm:  
Austrittsarbeitsdifferenz

⇒ S. Seite 166

$$\begin{aligned} e\phi_{msc} &= e\phi_m - e\phi_{sc} \\ &= e\phi_m - \left( e\chi_{sc} + \frac{\Delta W}{2} + (W_{F_L, \infty} - W_F) \right) \\ &= e(V_{iso, Msc} + Q_{so, Msc}) \end{aligned}$$

Energiebanddiagramm, Ladungsdiagramm

wenn bei  $V = 0$  Anreicherung vorliegt n-HL p-HL

$$V_{FB} < 0V \quad V_{FB} > 0V$$

wenn bei  $V = 0$  Inversion vorliegt

$$V_{FB} > 0V \quad V_{FB} < 0V$$

### Flachbandspannung

Treten Grenzflächenladungen  $Q_{ss}'$  sowie Isolatorladungen  $Q_{is}'$  und  $\Phi_{msc} \neq 0$  auf, so gilt für die erforderliche Flachbandspannung (Spannung, um Bänder flach zu machen)

$$V_{FB} = \Phi_{msc} - \frac{Q_{is}'}{C_{is}'} - \frac{Q_{ss}'}{C_{ss}'}$$

Alle Spannungen über der Flachbandspannung hinaus führen zu einer weiteren Bandverbiegung sowie einer Raumladung  $Q_{sc}'$  im HL

$$\begin{aligned} V_{mis} &= V_{FB} + \varphi_s - \frac{Q_{sc}'}{C_{is}'} \\ &= \Phi_{msc} - \frac{Q_{is}'}{C_{is}'} - \frac{Q_{ss}'}{C_{ss}'} - \frac{Q_{sc}'}{C_{is}'} + \varphi_s \end{aligned}$$

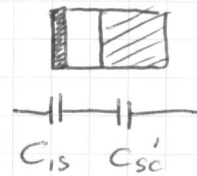
Befindet sich der NL in Verarmung bzw  
Schwacher Inversion kann der Beitrag der  
Inversionsladungsträger  $Q_{sc}'$  vernachlässigt werden.

Da nur wenige Ladungsträger an der Grenz-  
fläche sind.

$$V_{mis} = V_{FB} + Q_s$$

$$\frac{1}{C_{ges}} = \frac{1}{C_{is}'} + \frac{1}{C_{sc}'(Q_s)}$$

$$C_{is}' = \frac{\epsilon_0 \epsilon_{ris}}{d}$$



In starker Ausreicherung sind die Anzahl an  
Ladungsträgern an der NL/IS Grenzfläche so  
groß, dass sie metallisch wirken  $\Rightarrow C_{ges} = C_{is}$

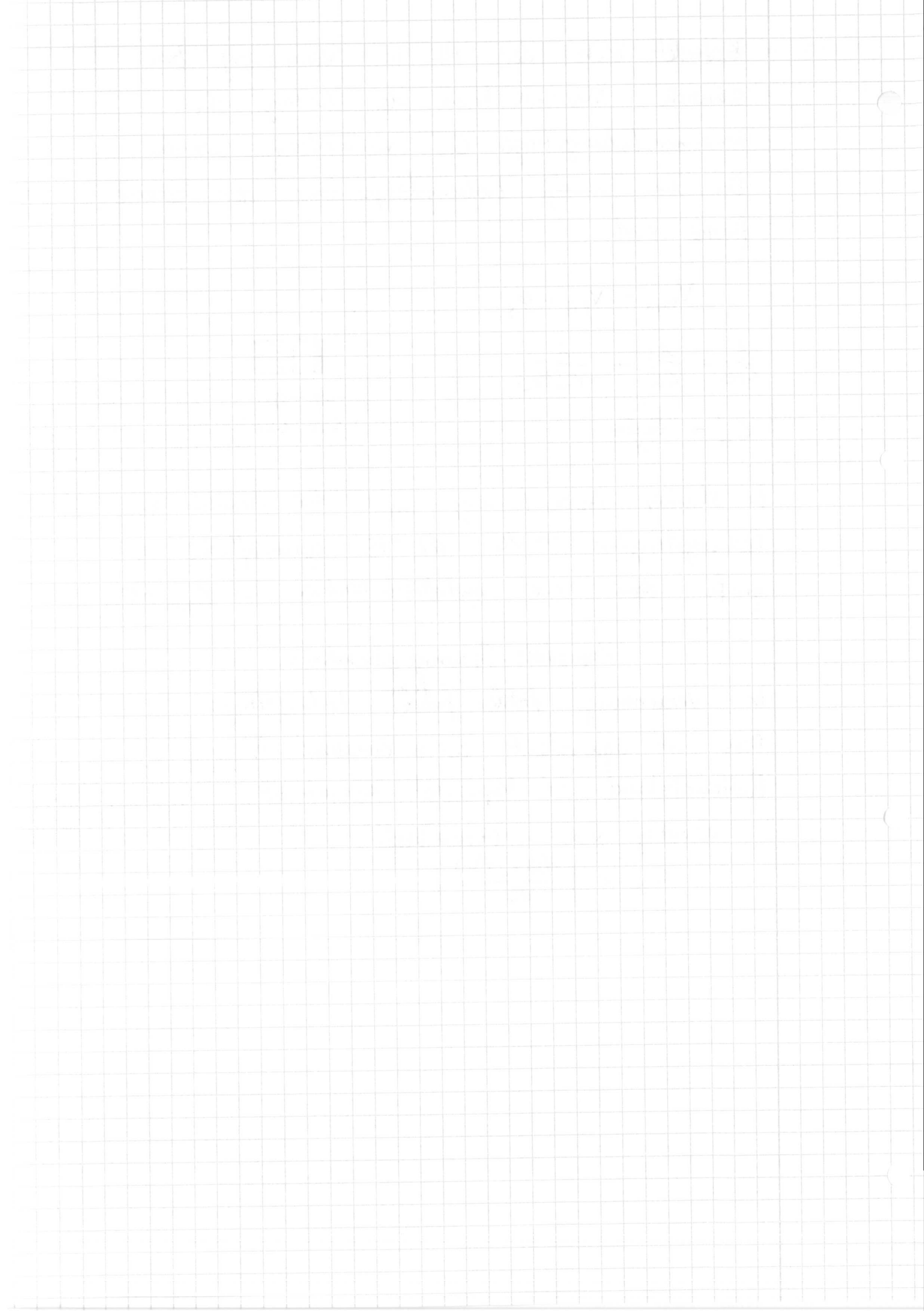
### Kapazitäts-Spannungskennlinie

In Verarmung fehlen fehlende Ladungsträger

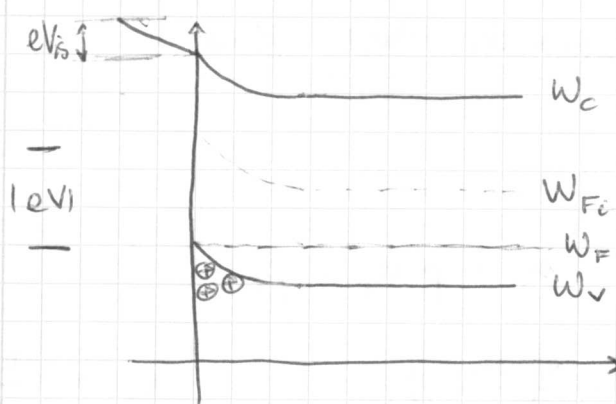
Dies ist äquivalent zur Zunahme des  
Plattenabstands  $\Rightarrow$  Kapazität nimmt ab

Wichtig vom Formelblatt

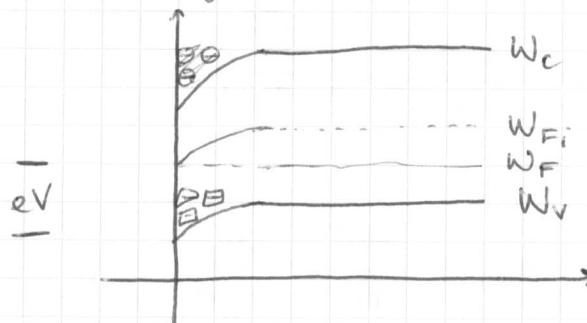
$$C_{sc}' = \left| \frac{dQ_{sc}(Q_s)}{dQ_s} \right|$$



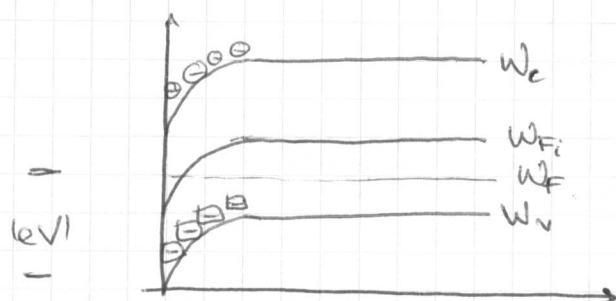
(a) (i) Anreicherung  $\rightarrow V < 0$



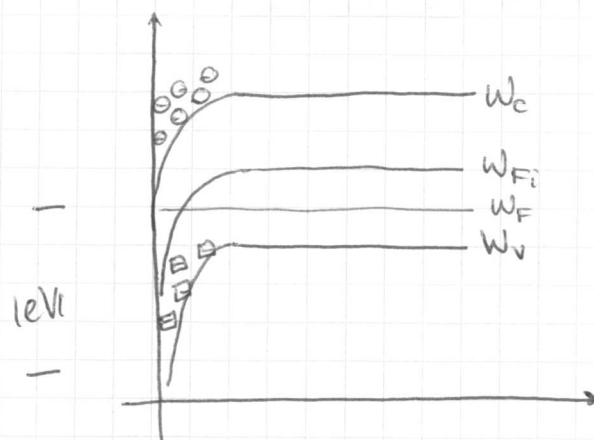
(ii) Verarmung  $\rightarrow V > 0$



(iii) schwache Invers.  $\Rightarrow V > 0$



(iv) starke Invers.  $V > 0$



(b)

wenn  $e\varphi_s = W_{F_i} - W_F$   
 $\Rightarrow$  schwache Inv.

(1)  $n_p(x=0) = p_p(x=0)$  Verarmung nach schwach Inv.

(2)  $n_p(x=0) = p_{po}$  schwach nach stark

$$(i) e\varphi_{s,\text{inv}} = W_{F_i} - W_F$$

$\Rightarrow$  (1)  $\rightarrow$  intrinsisch  $\Rightarrow n_i = p n_p = p_p$

$$n_i = p_p(x=0) = p_{po} \cdot \exp\left(-\frac{\varphi_{s,\text{inv}}}{V_T}\right)$$

$$V_T = \frac{k_B T}{e}$$

$$\ln(n_i) = \ln(p_{po}) - \frac{\varphi_{s,\text{inv}}}{V_T}$$

$$\varphi_{s,\text{inv}} = V_T \ln\left(\frac{p_{po}}{n_i}\right) = \frac{k_B T}{e} \ln\left(\frac{N_A}{\frac{n_i}{N_A}}\right)$$

$$(ii) \varphi_{s,\text{stimm}} = 2\varphi_{s,\text{inv}}$$

$$n_{po} \cdot p_{po} = n_i^2 \quad n_{po} = \frac{n_i^2}{p_{po}} = \frac{n_i^2}{N_A}$$

$$n_p(x=0) = n_{po} \cdot \exp\left(\frac{\varphi_{s,\text{inv}}}{V_T}\right)$$

$$= \frac{n_i^2}{N_A} \cdot \exp\left(\frac{\varphi_{s,\text{inv}}}{V_T}\right) = p_{po}$$

$$\text{Entz. } \ln(p_{po}) = \ln\left(\frac{n_i^2}{N_A}\right) + \frac{\varphi_{s,\text{inv}}}{V_T}$$

$$\varphi_{s,\text{inv}} = V_T \ln\left(\frac{N_A}{n_i^2}\right) = 2 V_T \ln\left(\frac{N_A}{n_i}\right) \rightarrow x$$

$$\varphi_{s,\text{stimm}} = 2\varphi_{s,\text{inv}} = 4 \frac{k_B T}{e} \ln\left(\frac{N_A}{n_i}\right)$$

$$(c) C'_{is} = \frac{\epsilon_0 \cdot \epsilon_r}{d_{is}} = 7,08 \cdot 10^{-4} \frac{F}{m^2}$$

$$(d) Q_{sc}' = -\epsilon_0 \epsilon_r \cdot V_T \sqrt{\frac{2e}{\epsilon_0 \epsilon_{r,sc}} \left( n_{p0} V_T \left( \exp\left(\frac{q_s}{V_T}\right) - 1 \right) + q_s N_A \right)}$$

$$\frac{Q_{sc}'}{C'_{is}} = - \frac{\epsilon_{r,sc} \cdot d_{is}}{\epsilon_{r,is}} \sqrt{\frac{2e}{\epsilon_0 \epsilon_{r,sc}} \left( \frac{n_i^2}{N_A} \frac{k_B T}{e} \left( \exp\left(\frac{q_s}{V_T}\right) - 1 \right) + q_s N_A \right)}$$

$q_s \rightarrow x$   
 $V_T \rightarrow D$



$$= - \frac{\epsilon_{r,sc} \cdot d_{is}}{\epsilon_{r,is}} \sqrt{\frac{2e}{\epsilon_0 \epsilon_{r,sc}} \left( \frac{n_i^2}{N_A} V_T \left( \frac{N_A^2}{n_i^2} - 1 \right) + q_s N_A \right)}$$

$$= - \frac{\epsilon_{r,sc} \cdot d_{is}}{\epsilon_{r,is}} \sqrt{\frac{2e V_T}{\epsilon_0 \epsilon_{r,sc}} \left( N_A - \frac{n_i^2}{N_A} + 2N_A \ln\left(\frac{N_A}{n_i}\right) \right)}$$

$$= -0,2 V$$

$$Q_{sc} = -1,43 \cdot 10^{-4} \frac{C}{m^2}$$

$$(e) V_{FB} \phi_{base} = \phi_m - \phi_{sc} = 0,2 V$$

Austrittsarbeit aus jeweiligen Met.  $\phi_{vac} - \phi_F$

für schwache Inversion:  $V = V_{FB} + \phi_{sc, inv}$

$$= V_{FB} + V_T \ln\left(\frac{p_{p0}}{n_i}\right)$$

$$= 0,2 V + 0,288 V$$

$$= 0,488 V$$

für starke Inversion:  $V = V_{FB} + \phi_{sc, st. inv} \approx \frac{Q'_{sc}}{C'_{is}}$

$$= 0,976 V$$

$$(f) C'_{FB}(q_s=0) = \sqrt{\frac{\epsilon_0 \epsilon_{r,sc}}{V_T} N_A} = 8,115 \cdot 10^{-4} \frac{F}{m^2}$$

$$(g) C'_{sc} = \left| \frac{dQ'_{sc}(q_s)}{dq_s} \right| = \left| \frac{d}{dq_s} \left( -\sqrt{2\epsilon_0 \epsilon_{r,sc} e N_A q_s} \right) \right|$$

$$= \left| -\sqrt{2\epsilon_0 \epsilon_{r,sc} e N_A} \frac{1}{2\sqrt{q_s}} \right|$$

$$= \frac{\sqrt{\epsilon_0 \epsilon_{r,sc} N_A e}}{2q_s}$$

$q_s$   
 $C'_{sc}$   
 $C'_{ges}$

0,9

$q_s$ 

0

0,05

0,1

0,2

0,4

0,6

0,7

0,8

$$C'_{sc} [10^{-4}]$$

$$8,11 \cdot 10^{-4}$$

$$4,13 \cdot 10^{-4}$$

$$2,92$$

$$2,06 \quad 1,46 \quad 1,19 \quad 1,1 \quad 1,03$$

$$\Delta C'_{sc} [10^{-4}]$$

$$C'_{ges} = C'_{sc} + C'_{is}$$

$$3,78$$

$$2,61$$

$$2,07$$

$$1,5$$

$$1,21$$

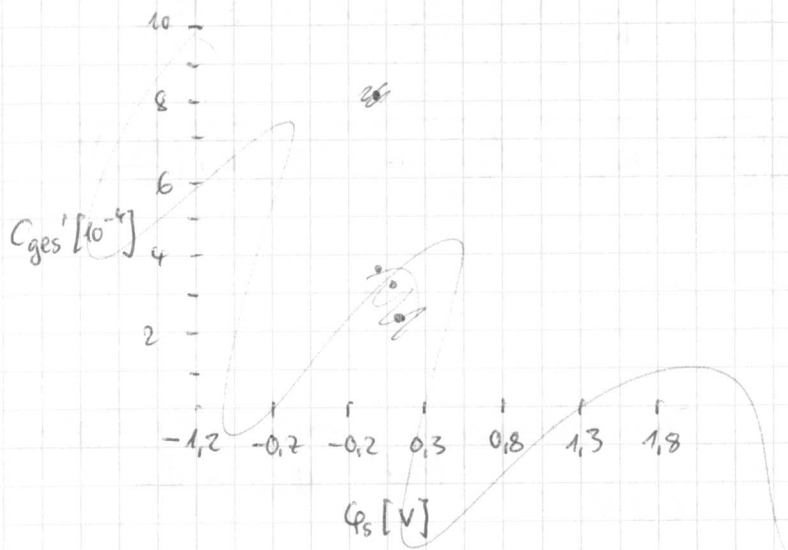
$$1,02$$

$$9,5 \cdot 10^{-1}$$

$$9 \cdot 10^{-1}$$

$$\frac{1}{C'_{ges}} = \frac{1}{C'_{is}} + \frac{1}{C'_{sc}}$$

$$C'_{ges} = \frac{C'_{is} \cdot C'_{sc}}{C'_{is} + C'_{sc}}$$



AS)

da  $V=0$   
↓ und kein Spannungsabfall  
über Dielektrikum

- (a) Keine Bandverbiegung, da  $\varphi_{sc} = 0$  um  $\varphi_B = 0$   
trifft Bandverbiegung auf, dass  $e\varphi_{sc} + e\varphi_M$

$$\Rightarrow V_{FB} = \varphi_{Msc} = \varphi_M - \varphi_{sc} = 4,25V - 3,8V = 0,45V$$

- (c) da keine  $Q'_{sc}$  und  $Q'_{ss}$

$$(C) d_{sc} = \sqrt{\frac{2\epsilon_0 \epsilon_{r,sc} |q_s|}{e N_D}}$$

$$V = V_{FB} + q_s - \frac{Q'_{sc}}{C'_{IS}} \approx V_{FB} + q_s$$

$$q_s = V - V_{FB} = -0,45V$$

$$\Rightarrow d_{sc} = 2,47 \cdot 10^{-7} m = 0,24 \mu m$$

$$(e) C_{mos} = \left( \frac{1}{C_{IS}} + \frac{1}{C_{sc}(q_s)} \right)$$

$$C_{IS} = \epsilon_0 \epsilon_{r,IS} \frac{A}{d_{sc}} = 2,66 \cdot 10^{-1} nF$$

Störstellenversetzung  $\Rightarrow n \gg p$

$$\Rightarrow C_{sc,FB}(q_s = 0) = \sqrt{\frac{e \epsilon_0 \epsilon_{r,sc} N_D}{V_T}} \cdot A \quad V_T = \frac{k_B T}{e}$$

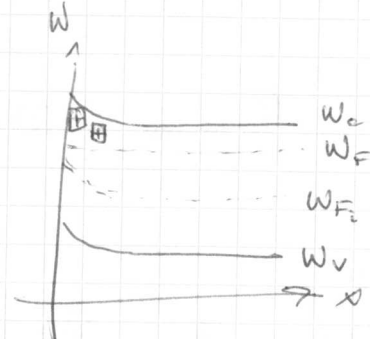
$$= 2,57 \mu F$$

Verarmung / schwache Inversion  $\Leftrightarrow q_{s,inv} \leq q_s < q_{s,FB}$

$$\Rightarrow Q'_{sc} = \sqrt{2\epsilon_0 \epsilon_{r,sc} e N_D - q_s} \quad C'_{sc} = \left| \frac{dQ'_{sc}(q_s)}{dq_s} \right|$$

$$C'_{sc} = \sqrt{2\epsilon_0 \epsilon_{r,sc} e N_D} \cdot \frac{1}{2} \cdot \frac{1}{\sqrt{2-q_s}} = \sqrt{\frac{\epsilon_0 \epsilon_{r,sc} e N_D}{2-q_s}}$$

#



$\varphi_s$ [V]	-1,1	-0,9	-0,7	-0,5	-0,3	-0,1	0,1	0
$C_{sc}(\varphi_s)$	$2,78 \cdot 10^{-10}$	$3,08 \cdot 10^{-10}$	$3,49 \cdot 10^{-10}$	$4,13 \cdot 10^{-10}$	$5,33 \cdot 10^{-10}$	$9,23 \cdot 10^{-10}$		
$C_{mos}(\varphi_s)$	$1,36 \cdot 10^{-10}$	$1,43 \cdot 10^{-10}$	$1,51 \cdot 10^{-10}$	$1,62 \cdot 10^{-10}$	$1,77 \cdot 10^{-10}$	$2,07 \cdot 10^{-10}$		$2,41 \cdot 10^{-10}$

$$\varphi_{s,st,inv} = -2V_T \cdot \ln\left(\frac{N_D}{m_i}\right) = -1,04 \text{ V}$$

A6)

$$(a) V_{FB} = \phi_{MSC} - \frac{Q_{is}' + Q_{ss}'}{C_{is}'} \quad C_{is}' = \frac{\epsilon_0 \cdot \epsilon_{r,is}}{dis}$$

$$e\phi_{MSC} = \phi_M - \phi_{SC} = 0$$

$$V_{FB} = \phi_M - \frac{dis(Q_{is}' + Q_{ss}')}{\epsilon_{ss} \epsilon_0 \cdot \epsilon_{r,is}} = -0,22 \text{ V}$$

(b)

$$d_{SC} = \sqrt{\frac{2\epsilon_0 \epsilon_{r,SC}}{e N_A} \varphi_s}$$

$$\approx 0,22 \mu\text{m}$$

$$= 170,1 \mu\text{m}$$

$$V = V_{FB} + \varphi_s - \frac{Q_{SC}'}{C_{is}'} = 0$$

$$\varphi_s = \frac{Q_{SC}'}{C_{is}'} - V_{FB}$$

$$= \frac{Q_{SC} \cdot dis}{\epsilon_0 \cdot \epsilon_{r,is}} - V_{FB}$$

$$= 0,22 \text{ V}$$

$$|W_{F,i,\infty} - W_F| = e^{\varphi_{s,inv,winv}} = e^{V_T \cdot \ln\left(\frac{N_A}{m_i}\right)} \\ = k_B T \ln\left(\frac{N_A}{m_i}\right) \\ = 0,37 \text{ eV}$$

$$(c) V_{w,inv} = V_{FB} + \varphi_{s,winv} = 0,149 \text{ V}$$

$$(d) \varphi_{s,st,inv} = \frac{2(W_{F,i,\infty} - W_F)}{e} = \frac{2k_B T \ln\left(\frac{N_A}{m_i}\right)}{e} = 1,18 \cdot 10^{-19} \checkmark \\ = 0,739 \text{ V}$$

$$Q_{SC}' = \sqrt{2\epsilon_0 \epsilon_{r,SC} e N_A \varphi_s} \Leftrightarrow$$

$$\frac{Q_{SC}'}{C_{is}'} = \frac{\sqrt{2\epsilon_0 \epsilon_{r,SC} e N_A \varphi_{s,st,inv}' \cdot dis}}{\epsilon_0 \epsilon_{r,is}} = 0,199 \text{ V}$$

$$V_{th,st,inv} = V_{FB} + \varphi_{s,st,inv} - \frac{Q_{SC}'}{C_{is}'} = -50,1 \text{ mV}$$

## Einschub: Inversionsspannung und Schwellenspannung

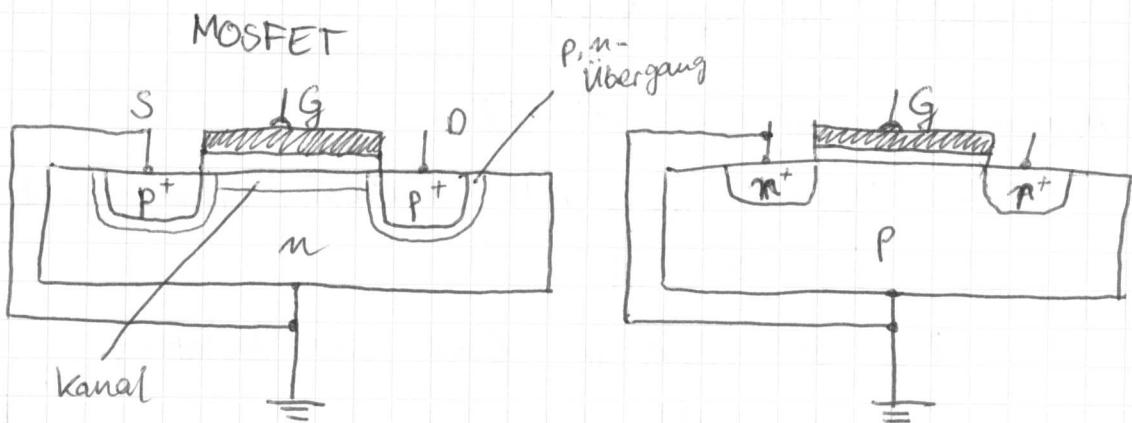
$$V_{W,inv} = V_{FB} + \varphi_{s,inv}$$

$e\varphi_{s,inv} = W_{F,i,\infty} - W_F$  ist das Oberflächenpotential beim Einsetzen der schwachen Inversion

$$e\varphi_{s,st,inv} = 2(W_{F,i,\infty} - W_F)$$

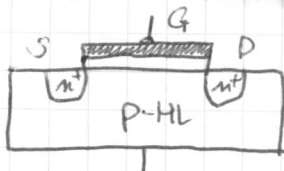
$$V_{th,st,inv} = V_{FB} + \varphi_{s,inv} - \frac{\frac{Q_{sc}(\varphi_{s,inv})}{C_{is}}}{\gamma \varphi_{s,inv}}$$

$\gamma$ : Substratsteuerungsfaktor



MOSFET-Typen:

n-Kanal-Anreicherungs-MOSFET



normally off

Anreicherung bezieht sich auf Kanal, welcher gewünscht

Bei  $V_G = 0V$

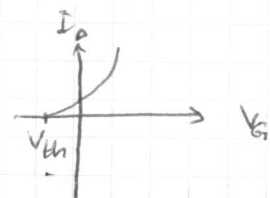


n-Kanal-Verarmungs-MOSFET

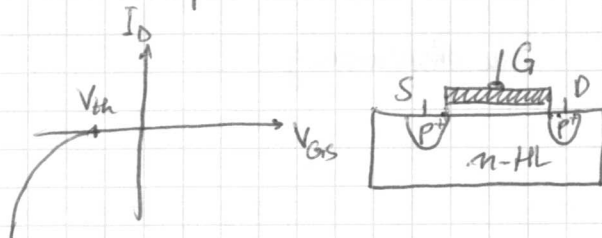


normally on

$V_G = 0V$



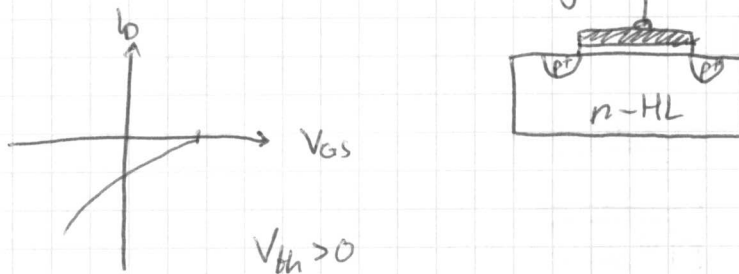
## p-kanal - Anreicherungs-MOSFET



Hier erzeugt eine negative Spannung  $V_G < 0$  einen Inversionskanal

$$V_{th} < 0$$

## p-Kanal - Verarmungs-MOSFET



Hier liegt bei  $V_G = 0$  ein p-Kanal vor

## Kennlinien des MOSFET

gesucht:  $I_D(V_{GS}, V_{DS})$

Annahmen: Langkanal MOSFET

1)  $V_{DS} \ll V_{GS}$ , d.h. linearer Spannungsabfall

2)  $|E_\perp| \gg |E_{\parallel}|$

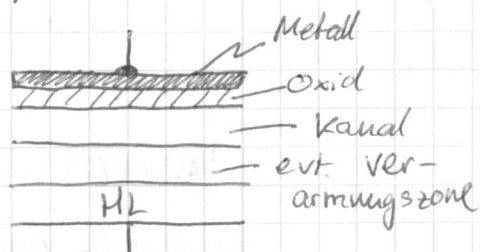
$E_\perp$  ist Feld im Oxid (im Isolator)

$E_{\parallel}$  ist Feld im Kanal

$$\frac{\text{Oxiddicke } d_{ox}}{\text{Kanallänge } L} \ll 1$$

$E_\perp$  ist hauptsächlich im Oxid, denn es kann aufgrund der hohen Ladungsträgerdichte im Kanal den Kanal nicht durchdringen

3)  $\mu = \text{const}$



## Herleitung:

für den Strom brauchen wir die Kenntnis über die bewegliche Ladung pro Volumeneinheit  $\Delta p$  und Geschwindigkeit ✓

$$\text{Es gilt } v = \mu |E_{\parallel}|$$

der Anteil der Gesamtkapazität am der Stelle  $\Delta x$  im Kanal der Länge  $L$

$$\Delta C_G = C_G \cdot \frac{\Delta x}{L}$$

$$\Rightarrow \Delta f^* = \frac{\Delta C_G \cdot V(x)}{\Delta x \cdot d \cdot w}$$

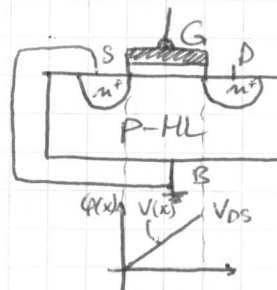
d: Kanaldicke

w: Kanalweite

$$\text{und } V(x) = V_{GS} - \varphi(x)$$

$$V(x=0) = 0 \text{ V}$$

$$V(x=L) = V_{DS}$$



$\Delta f^*$  besteht aus Fixladungen sowie bewegl.

$$\Delta f^* = \Delta p + \Delta p_{fix}$$

$$= \Delta C_G \left[ \frac{V(x) - V_{th}}{\Delta x \cdot d \cdot w} \right] + \frac{\Delta C_G \cdot V_{th}}{\Delta x \cdot d \cdot w}$$

nur der bewegliche Anteil ist für Strom in Kanal relevant

$$\Delta p = \frac{\Delta C_G [V(x) - V_{th}]}{\Delta x \cdot d \cdot w} = \frac{C_G}{L \cdot A} [V_{GS} - V_{th} - \varphi(x)]$$

$$V(x) = V_{GS} - \varphi(x)$$

Für den Strom  $I_D$  gilt:

$$I_D = \frac{dQ}{dt} = \frac{d}{dt} (\Delta p A \cdot x) = \Delta p A \cdot v$$

$$= \Delta p A \mu \cdot E_{\parallel} = \Delta p A \mu \frac{d\varphi}{dx}$$

$$I_D = \frac{\mu C_G}{L} \cdot \frac{A}{A} [V_{GS} - V_{th} - \varphi(x)] \frac{d\varphi}{dx}$$

$$I_D = \frac{\mu C_G}{L} [V_{GS} - V_{th} - \varphi(x)] \frac{d\varphi}{dx} \quad 6.66$$

L Trennung der Variablen:

$$\int_0^L I_D dx = \int_0^{V_{DS}} \frac{\mu C_G}{L} [V_{GS} - V_{th} - \varphi(x)] d\varphi$$

$$\Rightarrow I \cdot L = \frac{\mu C_G}{L} \int_0^{V_{DS}} [V_{GS} - V_{th} - \varphi(x)] d\varphi$$

$$= \frac{\mu C_G}{L} [(V_{GS} - V_{th}) V_{DS} - \frac{1}{2} V_{DS}^2]$$

$$\Rightarrow I_D = \underbrace{\frac{\mu C_G}{L^2}}_{K_n \text{ Entwurfsparameter}} [(V_{GS} - V_{th}) V_{DS} - \frac{1}{2} V_{DS}^2]$$

Miniaufgabe:

Formel für Drainstrom  $I_D$  allgemein

$$I_D = \mu \frac{C_G}{L^2} [(V_{GS} - V_{th}) V_{DS} - \frac{1}{2} V_{DS}^2]$$

Ohmscher Bereich  $V_{DS} \ll V_{GS} - V_{th}$

$$I_D = \mu \frac{C_G}{L^2} (V_{GS} - V_{th}) V_{DS}$$

Ungesättigter Bereich  $V_{DS} \leq V_{GS} - V_{th}$

allgemeine Formel

$$\text{Sättigungsbereich } \frac{dI_D}{dV_{DS}} = 0$$

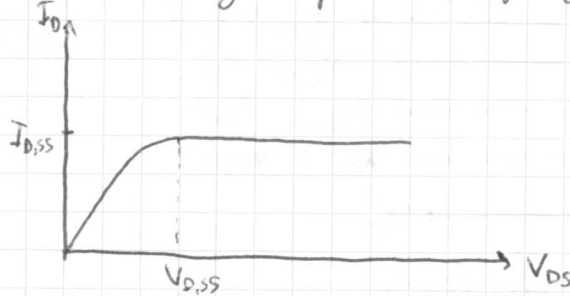
$$\frac{dI_D}{dV_{DS}} = \mu \frac{C_G}{L^2} (V_{GS} - V_{th} - V_{DS}) = 0$$

$$\Rightarrow V_{GS} - V_{th} = V_{DS}$$

$$\Rightarrow I_D = \frac{1}{2} \mu \frac{C_G}{L^2} V_{DS}^2 (V_{GS} - V_{th})^2$$

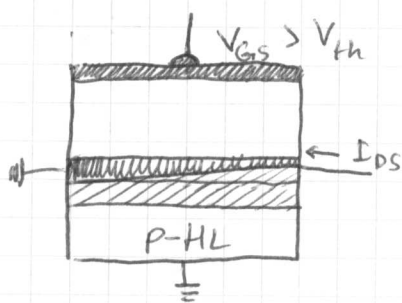
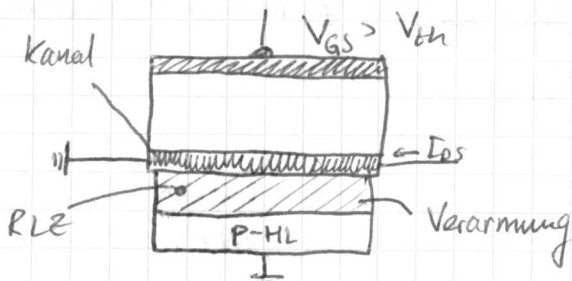
$$\frac{dI_D}{dV_{DS}} = 0$$

Bedingung für Sättigung

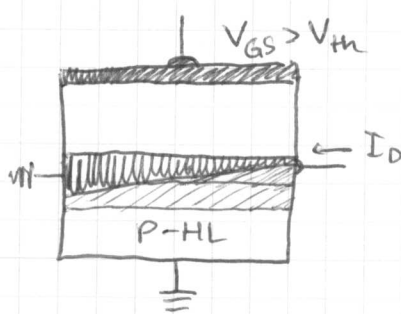


$$I_D = I_{D,SS}$$

$$V_{DSS} = V_{GS} - V_{th}$$

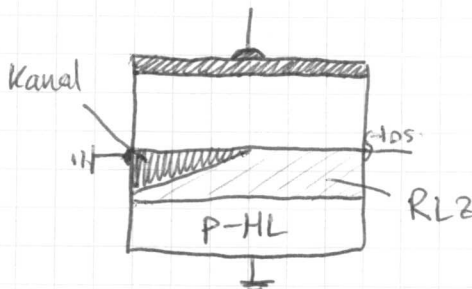


$$|V_{DS}| \leq |V_{GS} - V_{th}|$$

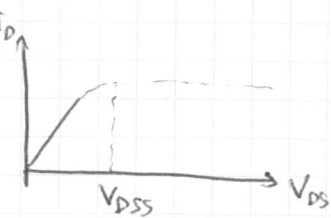


$$|V_{DS}| = |V_{GS} - V_{th}|$$
  

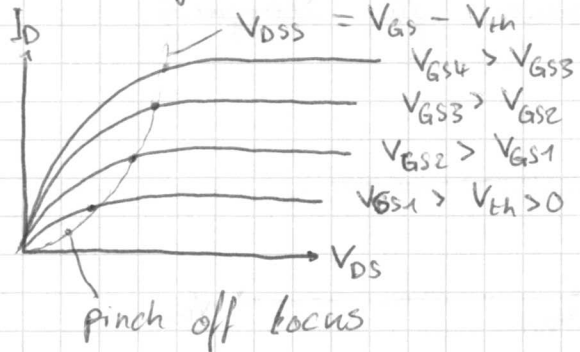
$$= |V_{DSS}|$$



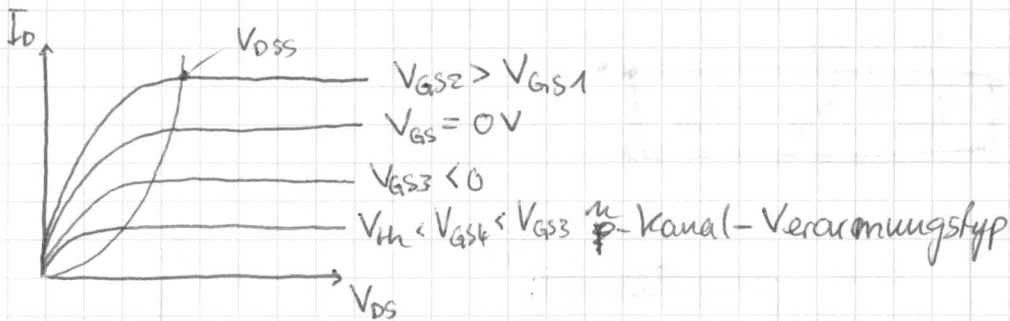
$$V_{DS_1} > V_{DSS} > |V_{GS} - V_{th}|$$



Veränderung von  $V_{GS}$  mit  $V_{DS} = V_{GS} - V_{th}$



n-Kanal-Anreicherungstyp



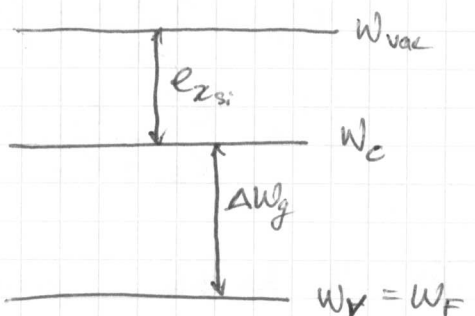
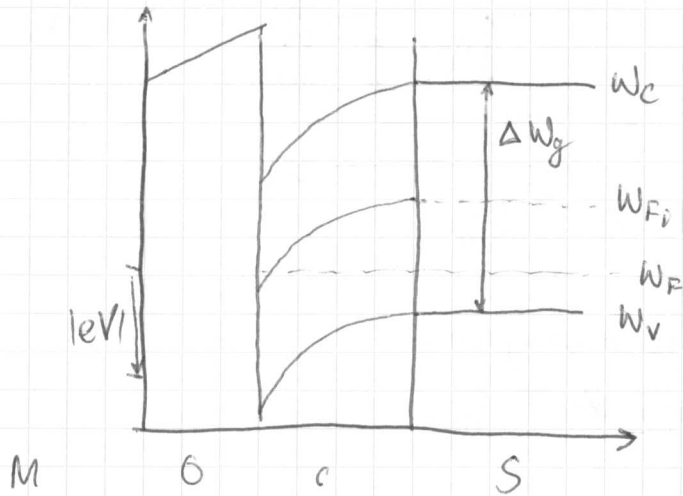
# Musterklausur

## Klausuraufgabe „MOSFET“

- (a) p-HL, da negativ Inversionsladungsträger  
an Iso/HL-Grenzfläche  
pos. Ladung am Metall,  $V > 0$

(b)  $n(x=0) \geq N_A$

(c)



$$(d) e\phi_{\text{poly-Si}} = e\chi_{\text{Si}} + \Delta W_g \\ = 5,17 \text{ eV}$$

Da sich der Halbleiter in Stoßstellenverschöpfung befindet, gilt:  $N_\bullet = n$

$$= N_c \cdot \exp\left(-\frac{W_c - W_F}{k_B T}\right)$$

$$e\phi_n \quad \Leftrightarrow k_B T \ln\left(\frac{N_\bullet}{N_c}\right) = -(W_c - W_F)$$

$$W_c - W_F = 0,1744 \text{ eV}$$

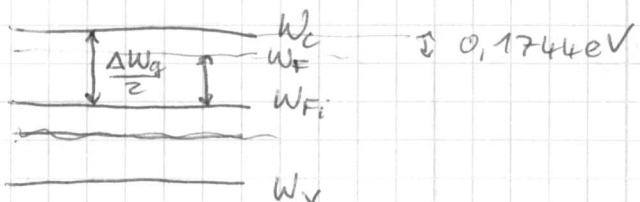
$$\text{W}_{\text{vac}} \quad e\phi_{\text{sc}} = e\chi_{\text{sc}} + (W_c - W_F) \\ = 4,225 \text{ eV}$$

(e) Die Bandverbiegung entspricht Potential am Oxid-Substrat-Grenzfläche.

Bei Anlegen der Schwellenspannung beträgt dieses:

$$(W_F - W_{Fi}) = 0,3856 \text{ eV} = \left( \frac{\Delta W_S}{2} - (W_c - W_F) \right)$$

$$d_{sc} = \sqrt{\frac{2\epsilon_0 \epsilon_{r,sc} (\Delta W_S)}{e^2 N_D}} = 180 \text{ nm}$$



$$(f) C'_ox = \frac{\epsilon_0 \epsilon_{r,ox}}{d_{ox}} = 1,15 \cdot 10^{-7} \frac{F}{cm^2}$$

Kapazität der Verarmungszone

$$C'_{sc} = \frac{\epsilon_0 \epsilon_{r,sc}}{d_{sc}} = 8,105 \cdot 10^{-8} \frac{F}{cm^2}$$

$$C' = \frac{C'_{sc} \cdot C'_ox}{C'_{sc} + C'_ox} = 4,754 \cdot 10^{-8} \frac{F}{cm^2}$$

(g) Zu beachten jeweils in welchem Bereich die Drainspannung  $V_{DS}$  liegt, d.h. ~~nicht~~ ob im Sättigungsbereich oder im Nichtsättigungsbereich

$$V_{DS} = V_{GS} - V_{th} \quad \text{pinch off locus}$$

$V_{DS} \leq V_{GS} - V_{th}$  außerhalb des Sättigung ist folgende Formel zu verwenden

$$I_D = \mu_n \frac{W}{L} C'_ox \left[ (V_{GS} - V_{th}) V_{DS} - \frac{V_{DS}^2}{2} \right]$$

Andernfalls liegt  $I_{D,sat}$  als Sättigungsstrom vor

$$I_{D,sat} = \frac{1}{2} \mu_n \frac{W}{L} C'_ox (V_{GS} - V_{th})^2$$

